



НИИОСП

ОРДЕНА ТРУДОВОГО КРАСНОГО ЗНАМЕНИ
НАУЧНО-ИССЛЕДОВАТЕЛЬСКИЙ ИНСТИТУТ
ОСНОВАНИЙ И ПОДЗЕМНЫХ СООРУЖЕНИЙ
имени Н.М. ГЕРСЕВАНОВА
ГОССТРОЯ СССР

РЕКОМЕНДАЦИИ
ПО РАСЧЕТУ СВАЙ
НА ГОРИЗОНТАЛЬНУЮ
НАГРУЗКУ В СВЯЗНЫХ
И НЕСВЯЗНЫХ ГРУНТАХ
С УЧЕТОМ ОБРАЗОВАНИЯ
ЗОНЫ ПРЕДЕЛЬНОГО
РАВНОВЕСИЯ

МОСКВА – 1983

ОРДENA ТРУДОВОГО КРАСНОГО ЗНАМЕНИ
НАУЧНО-ИССЛЕДОВАТЕЛЬСКИЙ ИНСТИТУТ
ОСНОВАНИЙ И ПОДЗЕМНЫХ СООРУЖЕНИЙ
имени Н.М. ГЕРСЕВАНОВА
ГОССТРОЯ СССР

РЕКОМЕНДАЦИИ
ПО РАСЧЕТУ СВАЙ
НА ГОРИЗОНТАЛЬНУЮ
НАГРУЗКУ В СВЯЗНЫХ
И НЕСВЯЗНЫХ ГРУНТАХ
С УЧЕТОМ ОБРАЗОВАНИЯ
ЗОНЫ ПРЕДЕЛЬНОГО
РАВНОВЕСИЯ

МОСКВА - 1983

УДК 624.154

Настоящие Рекомендации предназначены для расчета свай по несущей способности и деформациям, с учетом упруго-пластичных свойств материала свай и грунта. Рассматриваются стадии напряженно-деформированного состояния системы свая - грунт. Учитывается образование зоны предельного равновесия в верхней зоне грунта, окружающего сваю, форма которой зависит от вида грунта. Пластические свойства материала свай учитываются образованием пластических шарниров.

Применение рекомендаций позволит в большинстве случаев сократить количество арматуры и бетона, что позволит сэкономить 8 тыс. руб. на 1000 м³ свай.

Рекомендации разработаны сотрудниками НИИ оснований и подземных сооружений имени Н.М.Герсеванова (канд.техн.наук Фаянс Б.Л.) и Харьковского Промстройпроекта Госстроя СССР (кандидаты техн.наук Лучковский И.Я., Лекумович Г.С.), одобрены секцией Научно-технического совета НИИОСП и рекомендованы к изданию.

Рекомендации рассчитаны на инженерно-технических работников проектных и строительных организаций.

Для ускорения внедрения в практику строительства последних достижений науки и техники и установления прямых связей между научно-исследовательскими и проектными организациями Госстрой СССР директивным письмом от 14.05.80 г. № ИИ 2410-15 разрешил при разработке рабочих чертежей применять рекомендации головных институтов Госстроя СССР до включения их в нормативные документы. При этом соответствующая часть проекта, в которую вошли разработки научно-исследовательских институтов, должны быть выполнены при консультации головного института НИИОСП или Харьковского Промстройпроекта.

Все замечания и предложения по содержанию Рекомендаций просим направлять по адресу: 109389, Москва, 2-я Институтская ул., д.6, НИИОСП.



Ордена Трудового Красного Знамени Научно-исследовательский институт оснований и подземных сооружений имени Н.М.Герсеванова,
1983

I. ОБЩИЕ ПОЛОЖЕНИЯ

I.1. Настоящие Рекомендации распространяются на расчет свай, свай-оболочек и свай-столбов (в дальнейшем именуемых для краткости общим называнием "сваи") на совместное действие вертикальных и горизонтальных нагрузок и моментов.

Примечания: I. Свайные фундаменты зданий и сооружений, возводимых на вечномерзлых и просадочных грунтах, в сейсмических районах, подрабатываемых территориях, а также свайные фундаменты машин с динамическими нагрузками следует проектировать в соответствии с требованиями соответствующих глав СНиП. 2. Свайные фундаменты зданий и сооружений, возводимых на геологически неустойчивых площадках (на которых имеются или могут возникнуть оползни, карсты) и в других особых условиях, следует проектировать с учетом дополнительных требований, предъявляемых к строительству и эксплуатации зданий в указанных условиях.

I.2. Расчет свай на совместное действие вертикальных и горизонтальных нагрузок и моментов в соответствии со схемой, приведенной на рис. I, должен включать в себя:

а) расчет свай по деформациям, сводится к получению таких значений горизонтального перемещения головы свай Δ_r и угла ее поворота φ , которые удовлетворяли бы следующим условиям:

$$\Delta_r \leq Y_{np}; \quad (I.1)$$

$$\varphi \leq \varphi_{np}, \quad (I.2)$$

где Δ_r и φ – расчетные значения соответственно горизонтального перемещения головы свай, м, и угла ее поворота, рад, определяемые в соответствии с указаниями п. I.8 настоящих Рекомендаций;

Y_{np} , φ_{np} – предельно допустимые значения соответственно горизонтального перемещения головы свай, м, и угла ее поворота, рад, устанавливаемые в задании на проектирование здания или сооружений;

б) расчет устойчивости грунта основания, окружающего сваю, выполняется в соответствии с п. 3.4 настоящих Рекомендаций;

в) проверку сечения сваи по материалу по предельным состояниям первой и второй группы (прочности, образование и раскрытие трещин) на совместное действие расчетных усилий: сжимающей (растягивающей) силы, изгибающего момента и перерезывающей силы. Указанный расчет сваи должен выполняться в зависимости от материала сваи в

соответствии с требованиями п. 4.2 главы СНиП II-Г7-77.

Расчетные величины изгибающих моментов поперечных и продольных сил, действующих в различных сечениях свай, должны определяться согласно требованиям п.п. 3.1, 3.2 настоящих Рекомендаций.

В случае жесткой заделки свай в ростверк, если исключается возможность поворота ее головы (например, жесткий ростверк с двумя и более рядами свай, установленных в направлении действия горизонтальной силы), в расчетах необходимо учитывать момент заделки $M = M_3$, действующий в месте сопряжения свай с ростверком и определяемый в соответствии с указаниями п.3.2 настоящих Рекомендаций.

I.3. При расчете свай на горизонтальную нагрузку рассматриваются две стадии напряженно-деформированного состояния системы свая-грунт (рис.2,3):

- первая стадия - свая и грунт работают как упругие тела;
- вторая стадия - в верхней части грунта, окружающего сваю, образуется зона предельного равновесия (пластическая зона), с ростом нагрузки в свае образуются пластические шарниры (шарнир для одиночной сваи) и наступает предельное состояние.

I.4. На первой стадии грунт, окружающий сваю, рассматривается как упругая линейно-деформируемая среда, характеризующаяся коэффициентом постели C_z , Н/м³.

Расчетное значение коэффициента постели C_z грунта по боковой поверхности сваи при отсутствии опытных данных допускается определять по следующим формулам:

- для песчаных грунтов

$$C_z = K_z, \quad (I.3)$$

где K_z - коэффициент пропорциональности, Н/м⁴, принимаемый в зависимости от характеристик грунта, окружающего сваю, по табл. I;

z - глубина расположения сечения сваи в грунте, м, для которой определяется коэффициент постели, по отношению к поверхности грунта при высоком ростверке или к подошве ростверка при низком ростверке;

- для глинистых грунтов

$$C_z = C_0 + K_z, \quad (I.4)$$

где C_0 - коэффициент постели при $z = 0$, Н/м⁴, принимаемый в

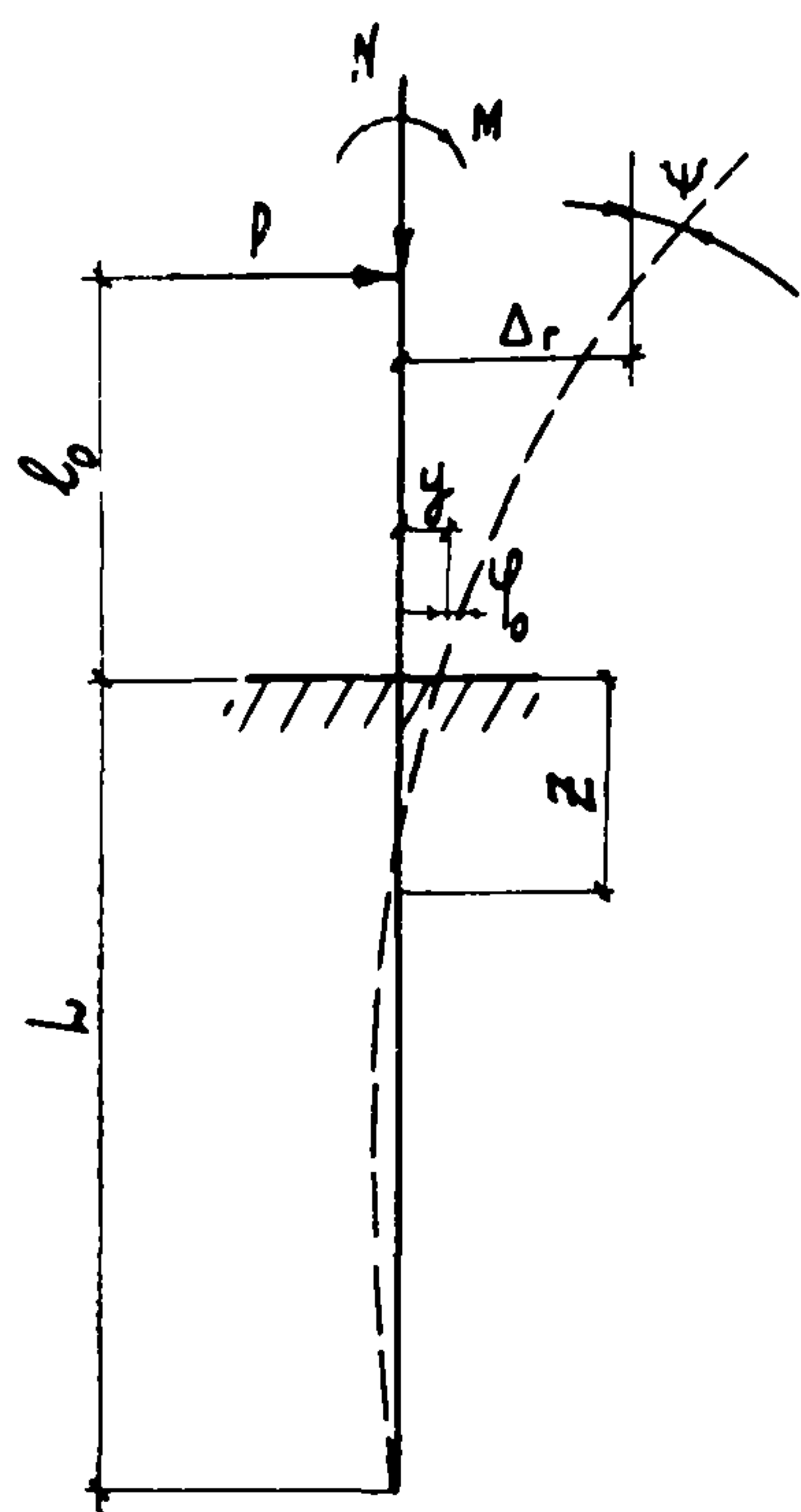


Рис. I. Схема нагрузок на сваю

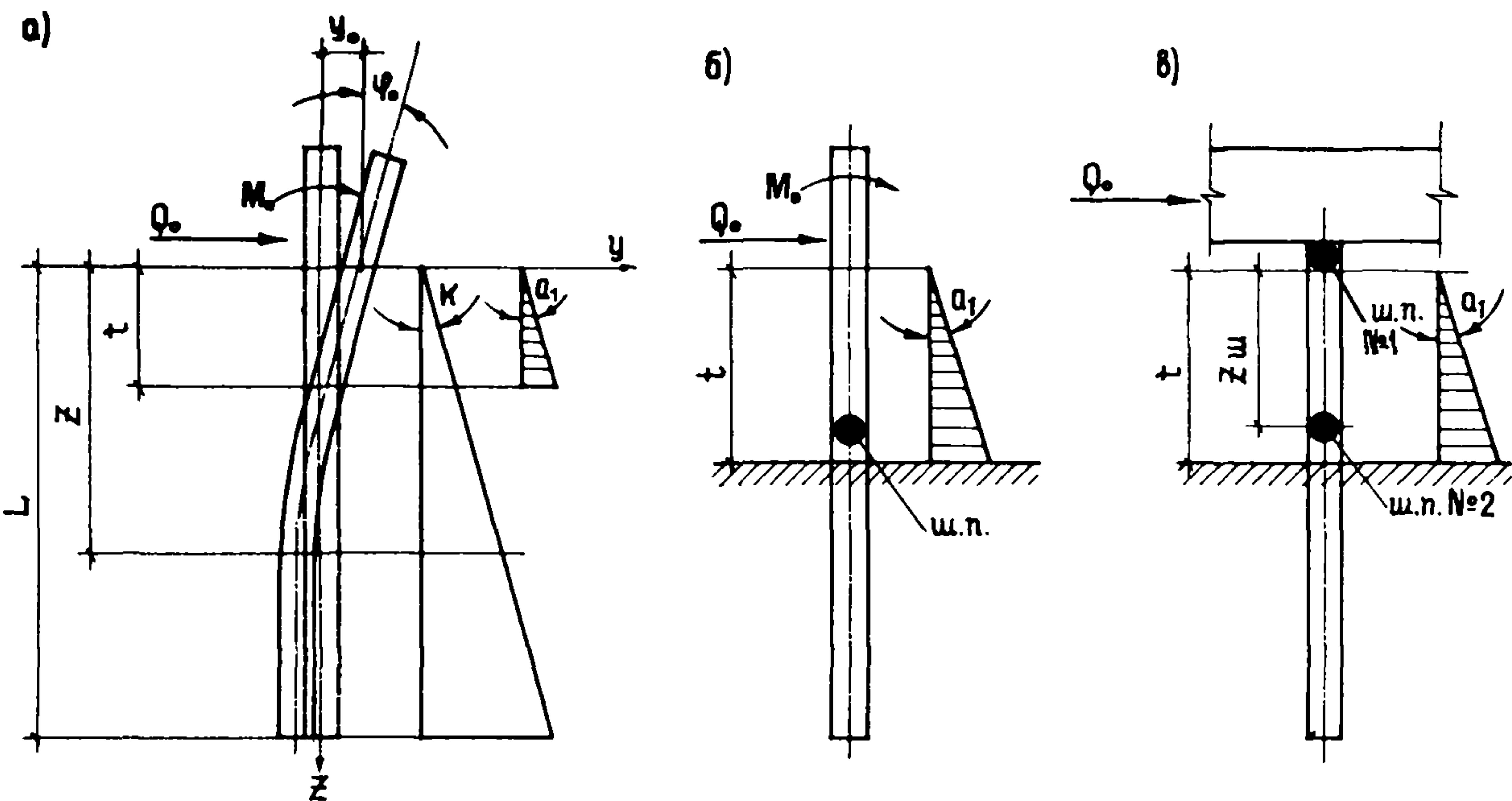


Рис. 2. Расчетная схема системы горизонтального нагружения свая-грунт (песчаный грунт)

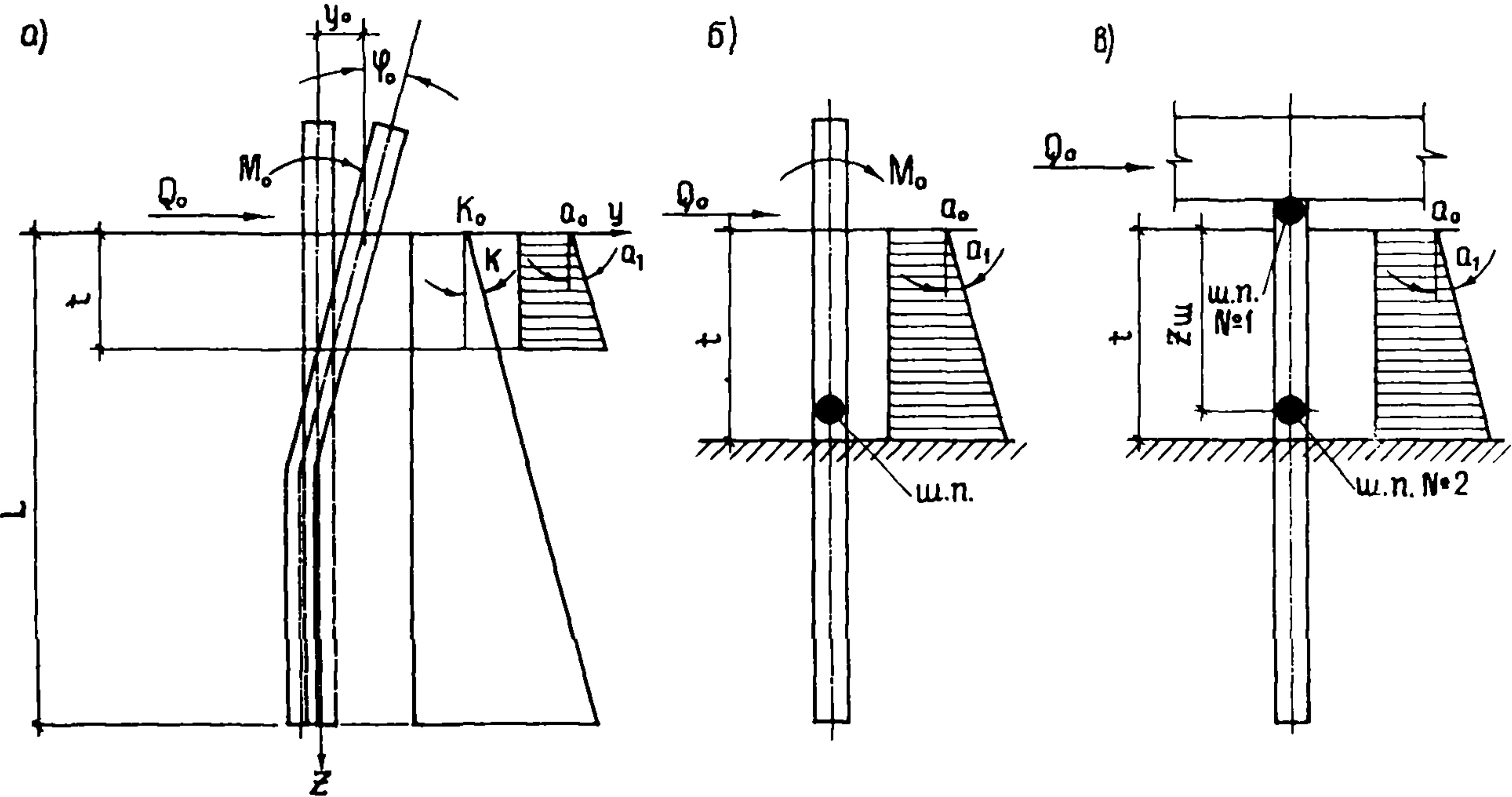


Рис. 3. Расчетная схема системы горизонтального нагружения свая-грунт (глинистый грунт)

зависимости от характеристик грунта, окружающего сваю, по табл.2. В формуле (I.4) K определяется по табл.2.

I.5. Расчетную величину давления на грунт σ_y , Н/м², боковой поверхности сваи в пределах пластической зоны грунта при отсутствии опытных данных допускается определять по следующим формулам:

а) для песчаных грунтов

$$\sigma_y = a_1 \tau, \quad (I.5)$$

где a_1 - прочностный коэффициент пропорциональности, Н/м³, принимаемый в зависимости от характеристик грунта по табл. I;

τ - глубина расположения сечения сваи в грунте, м, в пределах длины пластической зоны t , м, для которой определяется напряжение σ_y по отношению к поверхности грунта при высоком ростверке или к подошве ростверка при низком ростверке;

б) для глинистых грунтов

$$\sigma_y = a_0 + a_1 \tau, \quad (I.6)$$

где a_0 - начальный прочностный коэффициент при $\tau=0$, Н/м², принимаемый в зависимости от характеристик грунта, окружающего сваю, по табл.2. В формуле (I.6) определяется по табл.2.

I.6. За предельное состояние системы одиночная свая - грунт принимается образование на некоторой глубине (в пределах или на границе зоны предельного равновесия) пластического шарнира, в котором возникает момент M_y , Н/м, равный предельному изгибающему моменту, воспринимаемому поперечным сечением сваи. В случае заделки сваи в ростверк последовательно образуются два пластических шарнира - первый в месте заделки сваи в ростверк, второй - в пределах или на границе зоны предельного равновесия грунта. За предельное состояние системы принимается момент образования второго пластического шарнира.

I.7. Все расчеты свай следует выполнять применительно к приведенной глубине расположения сечения сваи в грунте \bar{z} , $\bar{\tau}$ и приведенной глубине погружения сваи в грунт \bar{L} , определяемых по формулам:

$$\bar{z} = d_g z; \quad (I.7)$$

$$\bar{\tau} = d_g \tau; \quad (I.8)$$

$$\bar{L} = d_g L, \quad (I.9)$$

где \bar{z} - действительная глубина расположения сечения свай в грунте в пределах упругой зоны грунта;

$\bar{\tau}$ - то же, в пределах зоны предельного равновесия;

L - действительная глубина погружения свай (ее нижнего конца) в грунт;

d_g - коэффициент деформации, м^{-1} , определяемый по формуле

$$d_g = \sqrt{\frac{K b_c}{E_\sigma J}}, \quad (I.10)$$

K - обозначение то же, что и в формулах II.3), (I.4);

E_σ - начальный модуль упругости бетона свай при сжатии и растяжении, $\text{Н}/\text{м}^2$, принимаемый в соответствии с главой СНиП по проектированию бетонных и железобетонных конструкций; для деревянных свай - модуль упругости древесины, принимаемый по нормам проектирования деревянных конструкций;

J - момент инерции поперечного сечения свай, м^4 ;

b_c - условная ширина свай, м, принимаемая равной: для свай-оболочек, а также свай-столбов и набивных свай с диаметром ствола 0,8 м и более $b_c = d + 1 \text{ м}$, а для остальных видов и размеров сечений свай $b_c = 1,5d + 0,5 \text{ м}$;

d - наружный диаметр круглого, сторона квадратного или сторона прямоугольного сечения свай в плоскости, перпендикулярной к действию нагрузки, м.

При определении условной ширины b_c для свай круглого сечения всех видов следует вводить в приведенные выше формулы коэффициент $K_f = 0,9$, а для свай-оболочек, свай-столбов или набивных свай диаметром стволов 0,8 м и более, образующих в направлении действия внешней нагрузки один или несколько рядов, вводить в соответствующую формулу для определения условной ширины дополнительный коэффициент, принимаемый равным

$$k = k_1 + \frac{(1 - k_1)L_p}{2(d + 1)}, \quad (I.11)$$

но не более I.

Здесь k_1 - коэффициент, зависящий от числа n_p свай, расположенных в вертикальной плоскости, параллельной плоскости действия нагрузок (в одном ряду); при $n_p = 2$ $k_1 = 0,6$; при $n_p = 3$ $k_1 = 0,5$; при $n_p \geq 4$ $k_1 = 0,45$;

L_p - расстояние в свету (на уровне поверхности грунта) между сваями, м.

I.8. Расчетные значения горизонтального перемещения свай в уровне подошвы ростверка Δ_r , м, и угол ее поворота φ , рад, следует определять по формулам:

$$\Delta_r = y_o + \varphi_o l_o + \frac{P l_o^3}{3 E_\delta Y} + \frac{M l_o^2}{2 E_\delta Y}; \quad (I.12)$$

$$\varphi = \varphi_o + \frac{P l_o^2}{2 E_\delta Y} + \frac{M l_o}{E_\delta Y}, \quad (I.13)$$

где P и M - расчетные значения поперечной силы, Н, и изгибающего момента, Н·м, действующие со стороны ростверка на голову свай (см.рис.I);

l_o - длина участка свай, м, равная расстоянию от подошвы ростверка до поверхности грунта;

E_δ и Y - то же, что и в формуле (I.10);

y_o и φ_o - горизонтальное перемещение, м, и угол поворота, рад, на уровне поверхности грунта при высоком ростверке, а при низком ростверке - на уровне его подошвы; определяются в соответствии с требованиями п.2.2 настоящих Рекомендаций.

Причение. В настоящих Рекомендациях принимаются положительными: момент и горизонтальная сила, приложенные к голове свай, если момент направлен по часовой стрелке, а сила - вправо; изгибающий момент и поперечная сила в сечении, если момент, передающийся от верхней условно отсеченной части свай на нижнюю, направлен по часовой стрелке, а сила - вправо; горизонтальное смещение сечения свай и его поворот, если смещение направлено вправо, а поворот - по часовой стрелке.

I.9. При наличии в пределах длины свай нескольких слоев грунта разрешается для определения сопротивления грунта на боковой поверхности свай пользоваться одним приведенным параметром грунта R , принимаемым в зависимости от грунтов, расположенных до глубины l_k , м.

$$l_k = 1,5 d_1 + 1,5 m,$$

где d_1 - наружный диаметр круглого, сторона квадратного или прямоугольного сечения сваи, параллельные плоскости действия нагрузки, м.

Если в пределах глубины l_k , отсчитываемой от поверхности грунта при высоком ростверке или от подошвы ростверка при низком ростверке, расположен один слой грунта, то приведенное значение R принимается равным значению, соответствующему этому грунту.

Если в пределах глубины l_k расположено два слоя грунта, то приведенное значение R определяется по формуле

$$R = R_1 + (R_2 - R_1) \left(1 - \frac{l_1}{l_k} \right), \quad (I.14)$$

где l_1 - толщина первого (верхнего) слоя грунта, м;

R_1 и R_2 - параметры грунта, принимаемые по табл. 3, 4 для грунтов первого и второго слоев.

2. РАСЧЕТ СВАЙ ПО ДЕФОРМАЦИЯМ

2.1. Горизонтальная сила P_{gr}^{upr} , Н, соответствующая предельной силе, отвечающей границе упругой и неупругой стадий работы системы свая - грунт, определяется по формуле:

$$P_{gr}^{upr} = \frac{\bar{P}_{gr}^{upr} A_1 b_c}{d_g^2}, \quad (2.1)$$

где \bar{P}_{gr}^{upr} - приведенное значение силы P_{gr}^{upr} , определяемое:
для песчаных грунтов по табл. 3 в зависимости от приведенных величин L и t , \bar{E} ; $E = \alpha_g E$; $E = \frac{M}{P}$,
для глинистых грунтов по табл. 4 в зависимости от приведенных значений L , t , \bar{a}_o , \bar{a}_1 ;
 \bar{E} - приведенная глубина зоны предельного равновесия (пластической зоны), равная $\bar{t} = \alpha_g t$;
 \bar{a}_o - параметр, характеризующий соотношение прочностных характеристик грунта и определяемый по формуле

$$\bar{a}_o = \frac{\mu}{t - \mu}; \quad (2.2)$$

$$\mu = \frac{1}{t + \frac{a_1 \cdot t_m}{a_o}}; \quad (2.3)$$

\bar{a} - параметр, характеризующий соотношение деформационных характеристик грунта и определяемый по формуле

$$\bar{a} = \frac{\xi}{1-\xi}; \quad (2.4)$$

$$\xi = \frac{1}{1 + \frac{K \cdot I_m}{K_0}}; \quad (2.5)$$

a_1 - то же, что в формуле (I.5);

a_0 - то же, что в формуле (I.6);

d_g - то же, что в формуле (I.10);

K - то же, что в формуле (I.3);

K_0 - то же, что в формуле (I.4);

b_c - то же, что в формуле (I.10).

2.2. Горизонтальное перемещение y_o , м, и угол поворота φ_o , рад, следует определять:

а) при $P \leq P_{rp}^{upr}$ (упругая стадия) по формулам

$$y_o = y_{o\ rp}^{upr} \cdot \frac{P}{P_{rp}^{upr}}; \quad (2.6)$$

$$\varphi_o = \varphi_{o\ rp}^{upr} \cdot \frac{P}{P_{rp}^{upr}}, \quad (2.7)$$

где $y_{o\ rp}^{upr}$ и $\varphi_{o\ rp}^{upr}$ - горизонтальное перемещение, м, и угол поворота, рад, соответствующие значению P_{rp}^{upr} , определяемые по формулам

$$y_{o\ rp} = \bar{y}_{rp} \cdot \frac{a_1}{K}; \quad (2.8)$$

$$\varphi_{o\ rp} = \bar{\varphi}_{rp} \cdot \frac{a_1 d_g}{K}, \quad (2.9)$$

\bar{y}_{rp} , $\bar{\varphi}_{rp}$ - приведенные значения y_o и φ_o , определяемые по табл. 3, 4 при $t = 0$;

б) при $P > P_{rp}^{upr}$ (вторая стадия) по формулам:

$$y_o = \bar{y} \cdot \frac{a_1}{K}; \quad (2.I0)$$

$$\varphi_o = \bar{\varphi} \cdot \frac{a_1 d_g}{K}, \quad (2.II)$$

где \bar{y} и $\bar{\psi}$ – соответственно приложенное перемещение и приведенный угол поворота свая на уровне поверхности грунта, определяемые в зависимости от вида грунта и от приведенной силы \bar{P} для песчаных грунтов по табл. 3, для глинистых – по табл. 4;

$$P = \frac{\rho d g^2}{b_c Q_1}. \quad (2.12)$$

3. РАСЧЕТ СВАЙ ПО ПРОЧНОСТИ

3.1. Расчетный изгибающий момент $M(\bar{a} + \bar{t} + \bar{z})$, Н·м, попеченную силу $Q(\bar{a} + \bar{t} + \bar{z})$, Н, действующие на приведенной глубине $(\bar{a} + \bar{t} + \bar{z})$ в сечении свай, следует определять:

а) в первой стадии работы системы свая – грунт и в пределах упругой зоны грунта во второй стадии по формулам

$$M(\bar{a} + \bar{t} + \bar{z}) = \frac{a_1 b c}{d g^3} \left(Y_o^\Phi A_3^{(\bar{a} + \bar{t} + \bar{z})} + \bar{Y}_o^\Phi B_3^{(\bar{a} + \bar{t} + \bar{z})} + M_o^\Phi C_3^{(\bar{a} + \bar{t} + \bar{z})} + Q_o^\Phi D_3^{(\bar{a} + \bar{t} + \bar{z})} \right); \quad (3.1)$$

$$Q(\bar{a} + \bar{t} + \bar{z}) = \frac{a_1 b c}{d g^2} \left(\bar{Y}_o^\Phi A_4^{(\bar{a} + \bar{t} + \bar{z})} + \bar{Y}_o^\Phi B_4^{(\bar{a} + \bar{t} + \bar{z})} + M_o^\Phi C_4^{(\bar{a} + \bar{t} + \bar{z})} + \bar{Q}_o^\Phi D_4^{(\bar{a} + \bar{t} + \bar{z})} \right), \quad (3.2)$$

где \bar{a} – приведенная длина ($\bar{a} = d g \frac{K_o}{K}$), где K_o и K определяются по табл. 2);

$\bar{Y}_o^\Phi, \bar{Y}_o^\Phi, \bar{M}_o^\Phi, \bar{Q}_o^\Phi$ – приведенные значения фиктивных начальных параметров, определяемые в зависимости от величины \bar{P} и характеристик грунта по табл. 3.4;

$A_3, B_3, C_3, D_3, A_4, B_4, C_4, D_4$ – коэффициенты, значения которых принимаются по табл. 3 приложения к СНиП II-17-77 в зависимости от приведенной глубины сечения $\bar{z} = \bar{a} + \bar{t} + \bar{z}$;

б) во второй стадии работы системы свая – грунт в пределах длины пластической зоны t по формулам:

для песчаных грунтов

$$M_t = a_1 t b c; \quad (3.3)$$

$$Q_t = P - \frac{a_1 b c}{2} t^2; \quad (3.4)$$

для глинистых грунтов

$$M_T = M + P_c - \frac{a_0 b_c}{2} \tau^2 - \frac{a_1 b_c}{6} \tau^3, \quad (3.5)$$

$$Q_T = P - a_0 b_c t - \frac{a_1 b_c}{2} \tau^2. \quad (3.6)$$

3.2. Расчетный момент заделки M_3 , Н.м, учитываемый при расчете свай, имеющих жесткую заделку в ростверк, которая исключает поворот головы свая, следует определять по формуле

$$M_3 = -\bar{M} \frac{a_1 b_c}{d g^3}, \quad (3.7)$$

где \bar{M} – приведенный момент заделки, определяемый при $\bar{\epsilon} = 0$ по табл. 3,4 в зависимости от характеристик грунта.

Знак минус означает, что при горизонтальной силе P , направленной слева направо, на голову свая со стороны заделки передается момент, направленный против часовой стрелки.

Значение M_3 не должно превышать значение M_T – предельного изгибающего момента, воспринимаемого поперечным сечением свая.

3.3. Предельную несущую способность системы свая – грунт следует определять по следующим формулам:

для песчаных грунтов

$P_{пред}$, Н, для одиночной сваи определяется по формуле

$$P_{пред} = \frac{a_1 b_c}{2} Z_t^2, \quad (3.8)$$

где Z_t – расстояние, м, от поверхности грунта до местоположения пластического шарнира, которое определяется путем решения следующего кубического уравнения

$$Z_t^3 + \frac{3}{2} E Z_t^2 - \frac{3 M_T}{b_c a_1} = 0. \quad (3.9)$$

В случае, если на сваю действует только горизонтальная сила, $P_{пред}$, Н, следует определять по формуле

$$P_{пред} = \sqrt[3]{a_1 b_c M_T^2}; \quad (3.10)$$

– для свай, имеющей жесткую заделку в ростверк, $P_{пред}$ следует определять по формуле

$$P_{пред} = 1,65 \sqrt[3]{a_1 b_c M_T^2}; \quad (3.11)$$

- для глинистых грунтов

$P_{\text{пред}}$ (для одиночной сваи) определяется по формуле

$$P_{\text{пред}} = a_0 b_c Z_t + \frac{a_0 b_c}{2} Z_t^2, \quad (3.12)$$

где Z_t , м, может быть найдено из решения следующего кубического уравнения:

$$Z_t^3 + \frac{3}{2} \left(\frac{a_0}{a_1} + E \right) Z_t^2 + 3E \frac{a_0}{a_1} Z_t - \frac{3M_T}{a_1 b_c} = 0. \quad (3.13)$$

- для сваи, имеющей жесткую заделку в ростверк, $P_{\text{пред}}$ следует определять по формуле (3.12), при этом Z_t определяется из решения следующего кубического уравнения

$$Z_t^3 + \frac{3}{2} \cdot \frac{a_0}{a_1} Z_t^2 - \frac{6M_T}{a_1 b_c} = 0. \quad (3.14)$$

3.4. Расчетное давление $\bar{\sigma}$, МПа, на грунт по контакту с боковой поверхностью сваи, возникающее на некоторой глубине, следует определять следующим образом:

- при работе сваи в первой (упругой) стадии, а также при работе во второй стадии, если сечение сваи, для которого определяется $\bar{\sigma}$, находится в пределах упругой зоны работы грунта - по формуле

$$\begin{aligned} \bar{\sigma}_{(\bar{a} + \bar{t} + \bar{z})} = \frac{a_1}{K} & \left\{ \left[\frac{K_0 + K(\bar{a} + \bar{t} + \bar{z})}{a_g} \right] \left[\bar{Y}_0 \varphi A_1^{(\bar{a} + \bar{t} + \bar{z})} + \bar{Y}_0 \varphi B_1^{(\bar{a} + \bar{t} + \bar{z})} + \right. \right. \\ & \left. \left. + \bar{M}_0 \varphi C_1^{(\bar{a} + \bar{t} + \bar{z})} + \bar{Q}_0 \varphi D_1^{(\bar{a} + \bar{t} + \bar{z})} \right] \right\} \end{aligned} \quad (3.15)$$

П р и м е ч а н и е. При определении $\bar{\sigma}$ для песчаных грунтов величины K_0 и a_g обращаются в нуль.

- при работе сваи во второй стадии значения $\bar{\sigma}$ в пределах пластической зоны - по формулам (I.5), (I.6).

3.5. Расчет устойчивости основания, окружающего сваю, должен производиться по условию ограничения расчетного давления $\bar{\sigma}$, оказываемого на грунт боковыми поверхностями свай

$$\bar{\sigma} \leq \bar{\sigma}_{\text{пр}}. \quad (3.16)$$

Величина $\bar{\sigma}_{\text{пр}}$, соответствующая данной силе P и глубине пластической зоны t , вычисляется по формулам:

для песчаных грунтов

$$\sigma_{np} = a_1 t, \quad (3.17)$$

для глинистых грунтов

$$\sigma_{np} = a_0 + a_1 t. \quad (3.18)$$

При $\tilde{L} \leq 3,5$ расчетное давление на грунт $\tilde{\sigma}$, МПа боковой поверхности свай следует определять по формуле (3.15) в точке $\tilde{z} = L$.

П р и м е ч а н и е. Расчет устойчивости грунта основания, окружавшего сваю, не требуется для свай, приведенная глубина погружения которых $z \geq 4$.

4. ОПРЕДЕЛЕНИЕ РАСЧЕТНЫХ ПАРАМЕТРОВ СИСТЕМЫ СВАЯ – ГРУНТ ПО РЕЗУЛЬТАТАМ НАТУРНЫХ ИСПЫТАНИЙ СВАЙ ГОРИЗОНТАЛЬНОЙ НАГРУЗКОЙ

4.1. Несущую способность свай по результатам испытаний горизонтальной статической нагрузкой следует определять согласно п.6.3 СНиП I7-77.

4.2. При испытании свай статической горизонтальной нагрузкой за частное значение предельного сопротивления P_{np} по графикам $Y_0 = f(P)$ (нагрузка – перемещение свай) принимается такая нагрузка, без увеличения которой перемещения свай непрерывно возрастают.

4.3. Для определения расчетных параметров системы свая – грунт используются данные натурных испытаний свай статической горизонтальной нагрузкой, приложенной к свае на уровне поверхности грунта.

4.4. Расчетные параметры системы свая – грунт определяются на основе зависимости $Y_0 = f(P)$ с использованием (для глинистых грунтов) стандартных характеристик грунта: C – удельного сцепления грунта, МПа и φ – угла внутреннего трения, град;

γ – расчетного объемного веса грунта ненарушенной структуры, Н/м³, определяемого в водонасыщенных грунтах с учетом взвешивающего действия воды.

4.5. Значения коэффициентов K и K_0 определяют по линейному участку зависимости $Y_0 = f(P)$.

Исходные данные: L – фактическая длина погружения свай в грунт, м; P – горизонтальная сила, Н, приложенная к свае на уровне поверхности грунта; Y_0 – перемещение свай на уровне поверхности грунта, м; EJ – жесткость поперечного сечения свай, Н·м²; d – наружный диаметр круглого, сторона квадратного или прямоугольного се-

чения свай в плоскости, перпендикулярной к действию нагрузки, м.

Порядок определения коэффициентов K и a_1 , для песчаных грунтов следующий.

1. Вычисляется значение коэффициента деформации α_g по формуле

$$\alpha_g = \sqrt[5]{\frac{K b_c}{E J}},$$

где коэффициент пропорциональности K , Н/м⁴ в первом приближении в зависимости от характеристик грунта принимается по табл. I.

2. Вычисляется приведенная глубина $\bar{L} = \alpha_g L$.

3. Вычисляется приведенное значение внешней нагрузки

$$P = \frac{\rho d g^2}{b_c a_1},$$

где a_1 - прочностный коэффициент пропорциональности, Н/м³, определяемый согласно указаниям, приведенным ниже.

4. По табл. 3, согласно полученным значениям \bar{P} и \bar{L} , определяется значение \bar{y} (при $t = 0$).

5. Вычисляется значение α_g по формуле

$$\alpha_g = \sqrt[5]{\frac{\bar{y} a_1 b_c}{y_0 E J}}$$

6. Полученное согласно п. 5 значение α_g сравнивается со значением, определенным согласно п. 2. Если они не совпадают, то расчет повторяется начиная с п. 2; при этом α_g принимается по п. 5. Расчет повторяется до тех пор, пока не будет достигнуто приемлемое совпадение величин α_g . Затем по формуле п. 2 вычисляется значение коэффициента K .

7. Прочностный коэффициент пропорциональности a_1 определяется по формуле

$$a_1 = \frac{P_{np}^3}{b_c M_T^2},$$

где P_{np} - величина, определяемая согласно п. 4.2;

M_T - предельный изгибающий момент, воспринимаемый поперечным сечением свай, Н·м.

Порядок определения коэффициентов K , K_0 , a_0 и a_1 для глинистых грунтов следующий.

1. Вычисляется значение коэффициента D ($D = \frac{a_0}{a_1}$),

a_0 и a_1 - коэффициенты, принимаемые в зависимости от характеристик грунта по табл. 2 или определяемые по формулам

$$Q_0 = 2C\sqrt{\lambda_a} ; \quad a_1 = \gamma(\lambda_n - \lambda_a),$$

где λ_a - коэффициент активного давления, $\lambda_a = \operatorname{tg}^2(45 - \frac{\varphi}{2})$;
 λ_n - коэффициент пассивного давления, $\lambda_n = \operatorname{tg}^2(45 + \frac{\varphi}{2})$.

2. Вычисляется глубина пластической зоны t , м, соответствующая величине P_{npX} по формуле

$$t = -\frac{3}{4}\left(D - \frac{M_T}{P_{np}}\right) + \sqrt{\frac{9}{16}\left(D - \frac{M_T}{P_{np}}\right)^2 + \frac{3M_T}{P_{np}}D}$$

3. Вычисляется значение коэффициента A по формуле

$$A = \frac{P_{np}}{6c(D + 0,5t)t(\lambda_n - \lambda_a)\gamma}$$

4. Определяются истинные значения \tilde{Q}_0 и \tilde{a}_1 по формулам

$$\tilde{Q}_0 = Aa_0 ; \quad \tilde{a}_1 = Aa_1.$$

5. По графику $y_o = f(P)$ определяется величина y_{op} , соответствующая концу упругой стадии работы системы свая - грунт.

6. Определяется начальный коэффициент постели K_0 , Н/м³, по формуле

$$K_0 = \frac{a_0}{y_{op}\varphi} .$$

7. По линейному участку зависимости $y_o = f(P_0)$ с использованием табл. 4 вычисляется значение коэффициента пропорциональности K в таком же порядке, как и для случая песчаных грунтов.

ПРИЛОЖЕНИЯ

Таблица I

Виды песчаных грунтов	Модуль деформации E, МПа	Коэффициент пористости e	Коэффициент пропорциональности K, кН/м ⁴	Прочностный коэффициент пропорциональности q _f , 10 ⁴ ·кН/м ³
Пески крупные	50	0,45	32000	92
	40	0,55	26000	79
	30	0,65	18000	71
Пески средней крупности	50	0,45	28000	79
	40	0,55	20000	72
	30	0,65	12000	62
Пески мелкие	48	0,45	24000	72
	38	0,55	18000	65
	28	0,65	9000	53
	18	0,75	7000	44
Пески пылеватые	39	0,45	16000	65
	23	0,55	8500	58
	18	0,65	7000	48
	11	0,75	5000	39

Таблица 2

Виды глинистых грунтов и пределы нормативных значений их консистенции	Коэффициент пористости e	Характеристики грунтов		Начальный прочностный коэффициент a_0 , MPa (kH/m ²)	Прочностной коэффициент пропорциональности a_1 , kH/m ³	Начальный коэффициент постели K_0 , kH/m ³	Коэффициент пропорциональности K , kH/m ⁴
		C, MPa	φ , град				
<u>Супеси</u> $0 \leq J_L \leq 0,25$	0,45	0,015	30	0,012 (12)	48	4000	I6000
	0,55	0,011	29	0,009 (9)	44	2400	I2000
	0,55	0,008	27	0,007 (7)	41	I200	7000
$0,25 \leq J_L \leq 0,75$	0,45	0,013	28	0,01 (10)	43	3300	I4000
	0,55	0,009	26	0,008 (8)	39	2500	I2000
	0,65	0,006	24	0,005 (5)	35	I000	7000
	0,75	0,003	21	0,004 (4)	30	I600	4500
<u>Суглиники</u> $0 \leq J_L \leq 0,25$	0,45	0,047	26	0,04 (40)	39	I7500	I7000
	0,55	0,037	25	0,032 (32)	37	I2000	I4000
	0,65	0,031	24	0,027 (27)	35	8500	II000
	0,75	0,025	23	0,022 (22)	33	3300	7400
	0,85	0,022	22	0,020 (20)	31	3900	6000
	0,95	0,019	20	0,018 (18)	28	I700	4800
<u>Суглиники</u>	0,45	0,039	24	0,034 (34)	35	I3600	I4000
	0,55	0,034	23	0,030 (30)	33	II000	I2000

Таблица 2 (продолжение)

I	2	3	4	5	6	7	8	9
$0,25 \leqslant \gamma_L \leqslant 0,5$	0,65	0,028	22	0,025	(25)	31	7300	9000
	0,75	0,023	21	0,021	(21)	30	4600	6500
	0,85	0,18	19	0,017	(17)	26	1800	4800
	0,95	0,015	17	0,015	(15)	23	2300	3500
$0,5 \leqslant \gamma_L \leqslant 0,75$	0,65	0,025	19	0,026	(26)	26	7200	7200
	0,75	0,020	18	0,020	(20)	25	4300	5400
$0,5 \leqslant \gamma_L \leqslant 0,75$	0,85	0,016	16	0,016	(16)	21	2700	3500
	0,95	0,014	14	0,015	(15)	18	2000	2600
	1,05	0,012	12	0,013	(13)	16	1300	2000
<u>Глины</u>	0,55	0,081	21	0,075	(75)	30	35000	I4000
	0,65	0,068	20	0,064	(64)	28	25000	II1000
	0,75	0,054	19	0,052	(52)	26	20000	I0000
	0,85	0,047	18	0,046	(46)	25	I6500	9000
	0,95	0,041	16	0,041	(41)	21	I4000	7000
	1,05	0,036	14	0,039	(39)	18	II500	5300
$0,25 \leqslant \gamma_L \leqslant 0,5$	0,65	0,057	18	0,056	(56)	25	20000	9000
	0,75	0,050	17	0,050	(50)	23	3400	7800
	0,85	0,043	16	0,044	(44)	21	I3600	6500
$0,25 \leqslant \gamma_L \leqslant 0,5$	0,95	0,037	14	0,039	(39)	18	II700	5400
	1,05	0,032	11	0,035	(35)	14	I0000	3900
$0,5 \leqslant \gamma_L \leqslant 0,75$	0,65	0,045	15	0,046	(46)	20	I7940	7800

Т а б л и ц а 2 (продолжение)

I	2	3	4	5	6	7	8	9
$0,5 \leq \gamma_L \leq 0,75$	0,75	0,041	I4	0,043	(43)	I8	I5500	6500
	0,85	0,036	I2	0,039	(39)	I6	I3000	5300
	0,95	0,033	I0	0,037	(37)	I3	II000	3900
	I,05	0,029	?	0,034	(34)	09	II330	3000

Таблица 3

 $\tilde{L} = 2,6$

Исходные данные

 $\tilde{E} = 0,0$

$\bar{\rho}$	\bar{t}	\bar{y}	\bar{M}	\bar{y}_o^φ	\bar{y}_o^φ	\bar{Q}_o^φ	\bar{M}_o^φ
0,927I	0,00	I,000	-0,943	I,000	0,0000	0,927	-0,943
0,953	0,25	I,029	-0,97I	I,029	0,0000	0,954	-0,97I
I,022	0,50	I,I09	-I,046	I,I09	0,0002	I,029	-I,047
I,I3I	0,75	I,254	-I,I73	I,253	0,0032	I,I65	-I,I87
I,27I	I,00	I,475	-I,356	I,47I	0,0175	I,379	-I,413
I,446	I,25	I,8I6	-I,6I2	I,796	0,0727	I,234	-I,800
I,656	I,50	2,337	-I,96I	2,258	0,2342	2,3I5	-2,472
I,926	I,75	3,200	-2,467	2,9I9	0,7II	3,377	-3,789
2,285	2,00	4,664	-3,222	3,78I	I,964	5,359	-6,429

$\bar{\rho}$	\bar{t}	\bar{y}	\bar{y}	\bar{y}_o^φ	\bar{y}_o^φ	\bar{Q}_o^φ	M_o^φ
0,3I6	0,00	I,000	0,648	I,000	-0,648	0,3I6	0,0
0,378	0,25	I,I94	0,773	I,I94	-0,773	0,378	0,000
0,447	0,50	I,464	0,945	I,464	-0,945	0,466	-0,005
0,528	0,75	I,859	I,I30	I,858	-I,I83	0,607	-0,030
0,6I3	I,00	2,434	I,528	2,427	-I,495	0,839	-0,II2
0,699	I,25	3,33I	2,023	3,294	-I,89I	I,270	-0,353
0,785	I,50	4,772	2,767	4,63I	-2,340	2,086	-0,96I
0,868	I,75	7,547	4,097	7,002	-2,693	3,95I	-2,683
0,947	2,00	I3,883	6,939	II,789	-2,2I3	8,842	-7,898

Таблица 3 (продолжение)

 $\bar{L} = 2,6$ $\bar{E} = 1,0$

$\bar{\rho}$	\bar{t}	\bar{y}	$\bar{\varphi}$	\bar{y}_o^φ	$\bar{\varphi}_o^\varphi$	\bar{Q}_o^φ	\bar{M}_o^φ
0,192	0,00	1,000	0,779	1,000	-0,779	0,192	0,192
0,235	0,25	1,234	0,960	1,234	-0,960	0,238	0,235
0,288	0,50	1,561	1,206	1,561	-1,205	0,311	0,242
0,348	0,75	2,039	1,543	2,038	-1,535	0,441	0,314
0,412	1,00	2,726	1,993	2,718	-1,955	0,675	0,284
0,478	1,25	3,780	2,623	3,738	-2,473	1,132	0,076
0,544	1,50	5,447	3,534	5,289	-3,054	2,022	-0,541
0,607	1,75	8,615	5,104	8,004	-3,530	4,091	-2,409
0,669	2,00	15,796	8,379	13,451	-3,080	9,565	-8,203

 $\bar{L} = 2,6$ $\bar{E} = 2,0$

$\bar{\rho}$	\bar{t}	\bar{y}	$\bar{\varphi}$	\bar{y}_o^φ	$\bar{\varphi}_o^\varphi$	\bar{Q}_o^φ	\bar{M}_o^φ
0,138	0,00	1,000	0,837	1,000	-0,837	0,138	0,276
0,171	0,25	1,252	1,046	1,252	-1,046	0,174	0,342
0,213	0,50	1,608	1,329	1,607	-1,329	0,237	0,419
0,260	0,75	2,128	1,717	2,127	-1,709	0,360	0,483
0,311	1,00	2,875	2,229	2,866	-2,189	0,592	0,485
0,364	1,25	4,013	2,935	3,969	-2,776	1,061	0,299
0,416	1,50	5,805	3,940	5,637	-3,432	1,989	-0,319
0,467	1,75	9,189	5,646	8,544	-3,981	4,166	-2,262
0,517	2,00	16,842	9,167	14,359	-3,554	9,960	-8,369

Таблица 3 (продолжение)

 $\bar{L} = 3,0$ $\bar{E} = 0,0$

$\bar{\rho}$	\bar{t}	\bar{y}	\bar{M}	\bar{y}_o^φ	\bar{y}_o^φ	\bar{Q}_o^φ	\bar{M}_o^φ
0,973	0,00	I,000	-0,940	I,000	0,0	0,973	-0,940
I,000	0,25	I,029	-0,967	I,029	0,000	I,00I	-0,962
I,072	0,50	I,I08	-I,040	I,I08	0,000	I,078	-I,042
I,I83	0,75	I,247	-I,I63	I,247	0,003	I,2I6	-I,I77
I,324	I,00	I,455	-I,335	I,45I	0,0I7	I,428	-I,389
I,494	I,25	I,763	-I,564	I,744	0,067	I,759	-I,737
I,687	I,50	2,202	-I,856	2,I33	0,205	2,268	-2,305
I,9I0	I,75	2,862	-2,239	2,635	0,578	3,I07	-3,32I
2,I73	2,00	3,873	-2,752	3,2I6	I,470	4,5I0	-5,I68

$\bar{\rho}$	\bar{t}	\bar{y}	$\bar{\varphi}$	\bar{y}_o^φ	\bar{y}_o^φ	\bar{Q}_o^φ	\bar{M}_o^φ
0,367	0,00	I,000	0,645	I,000	-0,645	0,367	0,000
0,435	0,25	I,I92	0,768	I,I92	-0,768	0,437	0,000
0,5I9	0,50	I,458	0,937	I,458	-0,937	0,538	-0,005
0,6I6	0,75	I,839	I,I72	I,838	-I,I65	0,693	-0,029
0,72I	I,00	2,372	I,483	2,365	-I,452	0,935	-0,I05
0,83I	I,25	3,I36	I,902	3,I04	-I,786	I,340	-0,3I4
0,939	I,50	4,2I6	2,454	4,I03	-2,II0	2,008	-0,780
I,045	I,75	5,858	3,227	5,490	-2,272	3,204	-I,847
I,I45	2,00	8,488	4,374	7,406	-I,906	5,4I3	-4,I83

Таблица 3 (продолжение)

 $\bar{L} = 3,0$ $\bar{E} = 1,0$

\bar{P}	\bar{t}	\bar{y}	$\bar{\varphi}$	\bar{y}_o^φ	$\bar{\varphi}_o^\varphi$	\bar{Q}_o^φ	\bar{M}_o^φ
0,223	0,00	1,000	0,798	1,000	-0,798	0,223	0,223
0,275	0,25	1,239	0,987	1,239	-0,987	0,278	0,274
0,339	0,50	1,572	1,243	1,572	-1,242	0,362	0,333
0,414	0,75	2,050	1,589	2,049	-1,581	0,507	0,379
0,497	1,00	2,713	2,035	2,704	-1,998	0,752	0,372
0,583	1,25	3,648	2,612	3,611	-2,476	1,184	0,217
0,669	1,50	4,943	3,340	4,814	-2,945	1,914	-0,230
0,754	1,75	6,865	4,313	6,451	-3,232	3,237	-1,351
0,833	2,00	9,885	5,698	8,675	-2,928	5,686	-3,885

 $L = 3,0$ $E = 2,0$

\bar{P}	\bar{t}	\bar{y}	$\bar{\varphi}$	\bar{y}_o^φ	$\bar{\varphi}_o^\varphi$	\bar{Q}_o^φ	\bar{M}_o^φ
0,160	0,00	1,000	0,864	1,000	-0,864	0,160	0,320
0,201	0,25	1,261	1,088	1,261	-1,088	0,204	0,401
0,252	0,50	1,628	1,391	1,628	-1,390	0,276	0,497
0,312	0,75	2,157	1,425	2,156	-1,792	0,413	0,587
0,378	1,00	2,892	2,325	2,883	-2,286	0,656	0,623
0,449	1,25	3,925	2,995	3,885	-2,850	1,099	0,504
0,520	1,50	5,346	3,831	5,208	-3,408	1,862	0,075
0,589	1,75	7,433	4,925	6,992	-3,773	3,255	1,071
0,655	2,00	10,685	6,456	9,402	-3,514	5,842	-3,714

Таблица 3 (продолжение)

 $\bar{L} = 3,0$ $\bar{E} = 1,6$

$\bar{\rho}$	$\bar{\epsilon}$	\bar{y}	\bar{y}	\bar{y}_o^φ	\bar{y}_o^φ	\bar{Q}_o^φ	\bar{M}_o^φ
0,181	0,00	1,000	0,843	1,000	-0,843	0,181	0,288
0,225	0,25	1,254	1,056	1,254	-1,055	0,228	0,360
0,281	0,50	1,609	1,342	1,609	-1,341	0,307	0,443
0,346	0,75	2,122	1,730	2,120	-1,721	0,444	0,517
0,419	1,00	2,831	2,227	2,823	-2,189	0,688	0,539
0,495	1,25	3,831	2,865	3,792	-2,723	1,128	0,407
0,571	1,50	5,208	3,663	5,074	-3,250	1,879	-0,029
0,646	1,75	7,239	4,716	6,807	-3,587	3,249	-1,167
0,716	2,00	10,410	6,196	9,152	-3,312	5,788	-3,773
$L = 3,0$				$E = 1,8$			

$\bar{\rho}$	$\bar{\epsilon}$	\bar{y}	\bar{y}	\bar{y}_o^φ	\bar{y}_o^φ	\bar{Q}_o^φ	\bar{M}_o^φ
0,169	0,00	1,000	0,854	1,000	-0,854	0,160	0,306
0,212	0,25	1,257	1,072	1,257	-1,072	0,215	0,382
0,265	0,50	1,619	1,368	1,619	-1,367	0,289	0,471
0,328	0,75	2,140	1,767	2,139	-1,759	0,428	0,554
0,398	1,00	2,863	2,279	2,854	-2,239	0,671	0,583
0,471	1,25	3,880	2,933	3,841	-2,790	1,113	0,458
0,545	1,50	5,280	3,751	5,144	-3,332	1,870	0,025
0,616	1,75	7,340	4,825	6,904	-3,684	3,252	-1,117
0,684	2,00	10,554	6,332	9,282	-3,418	5,817	-3,743

Таблица 3 (продолжение)

 $\bar{L} = 3,4$ $\bar{E} = 0,0$

$\bar{\rho}$	\bar{t}	\bar{y}	\bar{M}	\bar{y}_o^φ	$\bar{y}_o^{\varphi\varphi}$	\bar{Q}_o^φ	\bar{M}_o^φ
I,02I	0,00	I,000	-0,957	I,000	0,00	I,02I	-0,957
I,050	0,25	I,029	-0,985	I,029	0,000	I,05I	-0,986
I,I26	0,50	I,I09	-I,06I	I,I09	0,000	I,I33	-I,063
I,245	0,75	I,249	-I,I87	I,249	0,003	I,278	-I,200
I,396	I,00	I,456	-I,36I	I,453	0,016	I,499	-I,415
I,576	I,25	I,756	-I,589	I,738	0,065	I,837	-I,759
I,778	I,50	2,I68	-I,87I	2,I03	0,I95	2,334	-2,299
I,999	I,75	2,745	-2,2I4	2,54I	0,522	3,094	-3,I97
2,237	2,00	3,54I	-2,628	2,992	I,234	4,237	-4,673

$\bar{\rho}$	\bar{t}	\bar{y}	\bar{y}	\bar{y}_o^φ	$\bar{y}_o^{\varphi\varphi}$	\bar{Q}_o^φ	\bar{M}_o^φ
0,396	0,00	I,000	0,654	I,000	-0,654	0,396	0,000
0,47I	0,25	I,I95	0,78I	I,I95	-0,782	0,473	0,000
0,564	0,50	I,466	0,956	I,466	-0,955	0,583	-0,005
0,674	0,75	I,855	I,509	I,854	-I,I9I	0,752	-0,029
0,798	I,00	2,395	I,5I9	2,388	-I,488	I,0I4	-0,I06
0,93I	I,25	3,I55	I,944	3,I23	-I,829	I,438	-0,3II
I,068	I,50	4,I84	2,48I	4,076	-2,I5I	2,I02	-0,75I
I,204	I,75	5,600	3,I63	5,275	-2,309	3,I74	-I,666
I,334	2,00	7,529	4,020	6,673	-2,048	4,853	-3,388

Таблица 3 (продолжение)

 $\bar{L} = 3,4$ $\bar{E} = 1,0$

$\bar{\rho}$	\bar{t}	\bar{y}	$\bar{\varphi}$	\bar{y}_o^φ	$\bar{\varphi}_o^\varphi$	\bar{Q}_o^φ	\bar{M}_o^φ
0,239	0,00	1,000	0,817	1,000	-0,817	0,239	0,239
0,296	0,25	1,246	1,016	1,246	-1,016	0,299	0,296
0,369	0,50	1,590	1,288	1,590	-1,287	0,392	0,363
0,455	0,75	2,088	1,658	2,087	-1,650	0,551	0,420
0,554	1,00	2,777	2,138	2,769	-2,100	0,816	0,427
0,662	1,25	3,738	2,753	3,700	-2,617	1,273	0,292
0,774	1,50	5,018	3,507	4,892	-3,121	2,007	-0,110
0,886	1,75	6,742	4,428	6,367	-3,442	3,206	-1,053
0,993	2,00	9,035	5,539	8,063	-3,288	5,086	-2,903

 $L = 3,4$ $E = 2,0$

$\bar{\rho}$	\bar{t}	\bar{y}	$\bar{\varphi}$	\bar{y}_o^φ	$\bar{\varphi}_o^\varphi$	\bar{Q}_o^φ	\bar{M}_o^φ
0,171	0,00	1,000	0,888	1,000	-0,888	0,171	0,343
0,216	0,25	1,269	1,124	1,269	-1,124	0,219	0,432
0,273	0,50	1,651	1,449	1,651	-1,449	0,299	0,541
0,344	0,75	2,207	1,893	2,205	-1,884	0,448	0,649
0,424	1,00	2,980	2,467	2,971	-2,426	0,711	0,710
0,514	1,25	4,060	3,200	4,019	-3,052	1,181	0,624
0,607	1,50	5,492	4,091	5,356	-2,673	1,952	0,254
0,700	1,75	7,407	5,164	7,004	-4,101	3,225	0,687
0,791	2,00	9,929	6,441	8,888	-4,023	5,223	2,615

Таблица 3 (продолжение)

 $\bar{L} = 3,8$ $\bar{E} = 0,0$

$\bar{\rho}$	\bar{t}	\bar{y}	\bar{N}	\bar{y}_o^φ	\bar{y}_o^ψ	\bar{Q}_o^φ	\bar{M}_o^φ
I,054	0,00	I,000	-0,978	I,000	0,000	I,054	-0,978
I,085	0,25	I,030	-I,007	I,030	0,000	I,086	-I,007
I,I66	0,50	I,II2	-I,086	I,II2	0,000	I,I72	-I,087
I,29I	0,75	I,255	-I,2I7	I,254	0,003	I,326	-I,226
I,453	I,00	I,466	-I,399	I,462	0,0I7	I,558	-I,455
I,648	I,25	I,772	-I,640	I,753	0,066	I,9I3	-I,8II
I,868	I,50	2,I89	-I,934	2,I23	0,I96	2,429	-2,365
I,I09	I,75	2,757	-2,287	2,556	0,5I5	3,I99	-3,26I
2,365	2,00	3,506	-2,696	2,984	I,I79	4,299	4,66I

$\bar{\rho}$	\bar{t}	\bar{y}	$\bar{\psi}$	\bar{y}_o^φ	\bar{y}_o^ψ	\bar{Q}_o^φ	\bar{M}_o^φ
0,407	0,00	I,000	0,662	I,000	-0,662	0,407	0,000
0,486	0,25	I,I98	0,793	I,I98	-0,793	0,488	-0,000
0,585	0,50	I,475	0,973	I,475	-0,972	0,604	-0,005
0,703	0,75	I,874	I,226	I,873	-I,2I9	0,783	-0,030
0,839	I,00	2,432	I,563	2,424	-I,53I	I,059	-0,I09
0,989	I,25	3,222	2,0I2	3,I89	-I,894	I,495	-0,3I9
I,I5I	I,50	4,322	2,584	4,I82	-2,247	2,2I2	-0,768
I,3I9	I,75	5,74I	3,302	5,4I4	-2,444	3,3I9	-I,682
I,487	2,00	7,622	4,I69	6,794	-2,25I	2,963	-3,3I7

Таблица 3 (продолжение)

 $\bar{L} = 3,8$ $\bar{E} = 1,0$

$\bar{\rho}$	\bar{t}	\bar{y}	$\bar{\psi}$	\bar{y}_o^φ	$\bar{\psi}_o^\varphi$	\bar{Q}_o^φ	\bar{M}_o^φ
0,245	0,00	1,000	0,828	1,000	-0,828	0,245	0,245
0,305	0,25	1,250	1,033	1,250	-1,033	0,308	0,304
0,381	0,50	1,602	1,315	1,602	-1,314	0,405	0,375
0,474	0,75	2,115	1,703	2,114	-1,695	0,572	0,438
0,582	1,00	2,833	2,213	2,825	-2,174	0,852	0,451
0,706	1,25	3,846	2,879	3,808	-2,738	1,337	0,323
0,839	1,50	5,205	3,705	5,076	-3,308	2,117	-0,075
0,980	1,75	7,019	4,717	6,638	-3,712	3,370	-1,006
1,122	2,00	9,334	5,903	8,379	-3,678	5,238	-2,758

 $\bar{L} = 3,8$ $\bar{E} = 2,0$

$\bar{\rho}$	\bar{t}	\bar{y}	$\bar{\psi}$	\bar{y}_o^φ	$\bar{\psi}_o^\varphi$	\bar{Q}_o^φ	\bar{M}_o^φ
0,175	0,00	1,000	0,899	1,000	-0,899	0,175	0,350
0,222	0,25	1,273	1,143	1,273	-1,143	0,225	0,444
0,282	0,50	1,664	1,479	1,664	-1,479	0,308	0,558
0,358	0,75	2,238	1,946	2,236	-1,937	0,464	0,675
0,446	1,00	3,046	2,559	3,038	-2,517	0,742	0,750
0,549	1,25	4,192	3,359	3,973	-3,206	1,242	0,679
0,661	1,50	5,729	4,350	5,589	-3,916	2,063	0,323
0,780	1,75	7,776	5,554	7,363	-4,462	3,400	0,606
0,900	2,00	10,370	6,952	9,338	-4,542	5,405	-2,419

Таблица 3 (продолжение)

 $\bar{L} = 4,0$ $\bar{E} = 0,0$

$\bar{\rho}$	\bar{t}	\bar{y}	\bar{M}	\bar{y}_o^φ	\bar{y}_o^φ	\bar{Q}_o^φ	\bar{M}_o^φ
1,064	0,00	1,000	-0,983	1,000	0,000	1,064	-0,986
1,096	0,25	1,030	-1,015	1,030	0,000	1,096	-1,015
1,178	0,50	1,113	-1,095	1,113	0,000	0,184	-1,097
1,306	0,75	1,257	-1,229	1,257	0,003	1,341	-1,243
1,472	1,00	1,471	-1,416	1,467	0,017	1,538	-1,471
1,673	1,25	1,781	-1,662	1,762	0,067	1,941	-1,850
1,902	1,50	2,203	-1,964	2,137	0,198	2,269	-2,399
2,155	1,75	2,781	-2,329	2,578	0,520	3,256	-3,312
2,424	2,00	3,536	-2,751	3,013	1,184	4,373	-4,726

$\bar{\rho}$	\bar{t}	\bar{y}	\bar{y}	\bar{y}_o^φ	\bar{y}_o^φ	\bar{Q}_o^φ	\bar{M}_o^φ
0,409	0,00	1,000	0,664	1,000	-0,664	0,409	0,000
0,489	0,25	1,199	0,796	1,199	-0,796	0,492	-0,000
0,589	0,50	1,477	0,879	1,477	-0,978	0,608	-0,005
0,710	0,75	1,880	1,234	1,879	-1,228	0,790	-0,030
0,848	1,00	2,445	1,577	2,437	-1,545	1,071	-0,109
1,005	1,25	3,249	2,038	3,216	-1,918	1,532	-0,323
1,174	1,50	4,343	2,627	4,231	-2,286	2,251	-0,779
1,356	1,75	5,833	3,374	5,502	-2,502	3,389	-1,709
1,541	2,00	7,768	4,278	6,930	-2,335	5,075	-3,366

Таблица 3 (продолжение)

 $\bar{L} = 4,0$ $\bar{E} = 1,0$

$\bar{\rho}$	\bar{t}	\bar{y}	$\bar{\varphi}$	\bar{y}_o^φ	\bar{y}_c^φ	\bar{Q}_o^φ	\bar{M}_o^φ
0,246	0,00	1,000	0,830	1,000	-0,830	0,246	0,246
0,306	0,25	1,251	1,037	1,251	-1,037	0,309	0,306
0,383	0,50	1,605	1,321	1,605	-1,320	0,407	0,377
0,478	0,75	2,122	1,714	2,121	-1,706	0,576	0,441
0,589	1,00	2,849	2,233	2,841	-2,195	0,861	0,456
0,716	1,25	3,882	2,917	3,843	-2,774	1,356	0,330
0,858	1,50	5,277	3,774	5,146	-3,370	2,155	-0,071
1,010	1,75	7,157	4,836	6,769	-3,812	3,447	-1,014
1,166	2,00	9,562	6,092	8,592	-3,827	5,372	-2,789

 $\bar{L} = 4,0$ $E = 2,0$

$\bar{\rho}$	\bar{t}	\bar{y}	$\bar{\varphi}$	\bar{y}_o^φ	\bar{y}_c^φ	\bar{Q}_o^φ	\bar{M}_o^φ
0,176	0,00	1,000	0,901	1,000	-0,901	0,176	0,352
0,223	0,25	1,274	1,147	1,274	-1,147	0,226	0,446
0,284	0,50	1,667	1,485	1,666	-1,485	0,309	0,561
0,360	0,75	2,245	1,958	2,244	-1,949	0,468	0,680
0,451	1,00	3,065	2,582	3,055	-2,539	0,749	0,757
0,557	1,25	4,233	3,404	4,190	-3,249	1,258	0,691
0,675	1,50	5,814	4,433	5,671	-3,993	2,101	0,336
0,804	1,75	7,941	5,703	7,521	-4,589	3,481	0,602
0,938	2,00	10,655	7,196	9,603	-4,736	5,554	-2,438

Таблица 4

Исходные данные

$$\bar{L} = 2,5; \quad \bar{Q}_o = 0,111; \quad \bar{q} = 0,111; \quad E = 0,0$$

$\bar{\rho}$	\bar{t}	\bar{y}	\bar{M}	\bar{y}_o^φ	$\bar{\psi}_o^\varphi$	\bar{Q}_o^φ	\bar{M}_o^φ
I,019	0,00	I,000	-0,999	0,994	0,II7	I,025	-I,II3
I,048	0,25	I,029	-I,029	I,023	0,I2I	I,055	-I,I46
I,I26	0,50	I,II6	-I,II3	I,I09	0,I3I	I,I44	-I,243
I,246	0,75	I,269	-I,255	I,260	0,I54	I,304	-I,4I8

$\bar{\rho}$	\bar{t}	\bar{y}	$\bar{\psi}$	\bar{y}_o^φ	$\bar{\psi}_o^\varphi$	\bar{Q}_o^φ	\bar{M}_o^φ
0,342	0,00	I,000	0,677	I,075	-0,675	0,348	-0,038
0,406	0,25	I,203	0,8I4	I,293	-0,8I2	0,4I9	-0,047
0,482	0,50	I,495	I,008	I,606	-I,003	0,525	-0,065
0,564	0,75	I,929	I,286	2,069	-I,269	0,698	-0,II8

$$\bar{L} = 2,5; \quad \bar{Q}_o = 0,250; \quad \bar{q} = 0,250; \quad E = 0,0$$

$\bar{\rho}$	\bar{t}	\bar{y}	\bar{M}	\bar{y}_o^φ	$\bar{\psi}_o^\varphi$	\bar{Q}_o^φ	\bar{M}_o^φ
I,I4I	0,00	I,000	-I,062	0,964	0,302	I,I72	-I,353
I,I75	0,25	I,03I	-I,095	0,994	0,3II	I,209	-I,395
I,265	0,50	I,I23	-I,I90	I,082	0,340	I,3I7	-I,520
I,400	0,75	I,286	-I,349	I,237	0,395	I,5I2	-I,748

$\bar{\rho}$	\bar{t}	\bar{y}	$\bar{\psi}$	\bar{y}_o^φ	$\bar{\psi}_o^\varphi$	\bar{Q}_o^φ	\bar{M}_o^φ
0,387	0,00	I,000	0,7I0	I,I76	-0,697	0,420	-0,I02
0,462	0,25	I,2I4	0,862	I,428	-0,846	0,5II	-0,I25
0,545	0,50	I,530	I,080	I,797	-I,057	0,650	-0,I69
0,633	0,75	2,0II	I,400	2,352	-I,347	0,884	-0,273

Таблица 4 (продолжение)

$$\bar{L} = 2,5; \quad \bar{Q}_o = 0,429; \quad \bar{\alpha} = 0,429; \quad E = 0,0$$

\bar{P}	\bar{t}	\bar{y}	\bar{M}	\bar{y}_o^φ	\bar{y}_o^φ	\bar{Q}_o^φ	\bar{M}_o^φ
I,297	0,00	I,000	-I,I40	0,878	0,6I2	I,387	-I,722
I,338	0,25	I,033	-I,I78	0,907	0,632	I,434	-I,780
I,443	0,50	I,I32	-I,286	0,993	0,694	I,57I	-I,95I
I,599	0,75	I,308	-I,467	I,I43	0,8I2	I,82I	-2,264

\bar{P}	\bar{t}	\bar{y}	\bar{y}	\bar{y}^φ	\bar{y}_o^φ	\bar{Q}_o^φ	\bar{M}_o^φ
0,434	0,00	I,000	0,757	I,3I8	-0,7I3	0,536	-0,2I4
0,52I	0,25	I,23I	0,932	I,623	-0,876	0,66I	-0,266
0,6I4	0,50	I,584	I,I90	2,08I	-I,II0	0,86I	-0,36I
0,709	0,75	2,I46	I,584	2,793	-I,430	I,2II	-0,570

$$\bar{L} = 2,5; \quad \bar{a}_o = 0,667; \quad \bar{q} = 0,667; \quad E = 0,0$$

\bar{P}	\bar{t}	\bar{y}	\bar{M}	\bar{y}_o^φ	\bar{y}_o^φ	\bar{Q}_o^φ	\bar{M}_o^φ
I,502	0,00	I,000	-I,229	0,648	I,I77	I,7I3	-2,326
I,552	0,25	I,036	-I,273	0,672	I,220	I,774	-2,4I0
I,677	0,50	I,I42	-I,397	0,739	I,346	I,956	-2,658
I,860	0,75	I,330	-I,60I	0,85I	I,586	2,287	-3,II3

\bar{P}	\bar{t}	\bar{y}	\bar{y}	\bar{y}^φ	\bar{y}_o^φ	\bar{Q}_o^φ	\bar{M}_o^φ
0,477	0,00	I,000	0,834	I,528	-0,70I	0,740	-0,430
0,579	0,25	I,26I	I,05I	I,926	-0,88I	0,935	-0,546
0,683	0,50	I,683	I,390	2,552	-I,I40	I,265	-0,764
0,785	0,75	2,4I7	I,949	3,59I	-I,485	I,892	-I,247

Таблица 4 (продолжение)

 $\bar{L} = 2,5; \quad \bar{Q}_o = 1,000; \quad \bar{q} = 1,000; \quad E = 0,0$

\bar{P}	\bar{t}	\bar{y}	\bar{M}	\bar{y}_o^φ	\bar{y}_o^φ	\bar{Q}_o^φ	\bar{M}_o^φ
1,755	0,00	1,000	-1,270	0,040	2,266	2,186	-3,332
1,813	0,25	1,037	-1,316	0,042	2,349	2,266	-3,454
1,952	0,50	1,142	-1,441	0,044	2,592	2,499	-3,809
2,141	0,75	1,325	1,637	0,031	3,033	2,905	-4,438

\bar{P}	\bar{t}	\bar{y}	\bar{y}	\bar{y}_o^φ	\bar{y}_o^φ	\bar{Q}_o^φ	\bar{M}_o^φ
0,496	0,00	1,000	0,992	1,870	-0,594	1,156	-0,910
0,618	0,25	1,327	1,313	2,476	-0,780	1,537	-1,215
0,734	0,50	1,927	1,880	3,535	-1,038	2,266	-1,845
0,844	0,75	3,223	3,024	5,606	-1,275	3,944	-3,464

 $\bar{L} = 2,5; \quad \bar{Q}_o = 1,500; \quad \bar{q} = 1,500; \quad E = 0,0$

\bar{P}	\bar{t}	\bar{y}	\bar{M}	\bar{y}_o^φ	\bar{y}_o^φ	\bar{Q}_o^φ	\bar{M}_o^φ
1,792	0,00	1,000	-0,929	-1,288	3,977	2,588	-4,559
1,830	0,25	1,025	-0,952	-1,321	4,077	2,653	-4,674
1,906	0,50	1,090	-1,004	-1,407	4,338	2,821	-4,970
1,973	0,75	1,181	-1,058	-1,542	4,714	3,053	-5,389

\bar{P}	\bar{t}	\bar{y}	\bar{y}	\bar{y}_o^φ	\bar{y}_o^φ	\bar{Q}_o^φ	\bar{M}_o^φ
0,433	0,00	1,000	-0,929	-1,288	3,977	2,588	-4,559
1,830	0,25	1,025	-0,952	-1,321	4,077	2,653	-4,674
1,906	0,50	1,090	-1,004	-1,407	4,338	2,821	-4,970
1,973	0,75	1,181	-1,058	-1,542	4,714	3,053	-5,389

Таблица 4 (продолжение)

\bar{P}	\bar{t}	\bar{y}	$\bar{\psi}$	\bar{y}_c^φ	$\bar{\psi}_c^\varphi$	\bar{Q}_c^φ	\bar{M}_c^φ
0,433	0,00	I,000	I,463	2,607	-0,073	2,328	-2,367
0,581	0,25	I,569	2,280	4,049	-0,072	3,654	-3,736
0,709	0,50	3,240	4,501	7,757	0,474	7,581	-8,047
0,820	0,75	I2,778	I5,752	24,489	8,080	30,I78	-34,9

$$\bar{L} = 2,5; \quad \bar{q}_o = 0,III; \quad \bar{a} = 0,III, \quad E = 2,0$$

\bar{P}	\bar{t}	\bar{y}	$\bar{\psi}$	\bar{y}_c^φ	$\bar{\psi}_c^\varphi$	\bar{Q}_c^φ	\bar{M}_c^φ
0,145	0,00	I,000	0,874	I,099	-0,905	0,151	0,274
0,181	0,25	I,263	I,100	I,388	-I,I39	0,I95	0,340
0,223	0,50	I,647	I,413	I,806	-I,459	0,277	0,407
0,270	0,75	2,213	I,840	2,417	-I,881	0,438	0,442

$$\bar{L} = 2,5 \quad \bar{q}_o = 0,250; \quad \bar{a} = 0,250; \quad E = 2,0$$

\bar{P}	\bar{t}	\bar{y}	$\bar{\psi}$	\bar{y}_c^φ	$\bar{\psi}_c^\varphi$	\bar{Q}_c^φ	\bar{M}_c^φ
0,160	0,00	I,000	0,924	I,241	-0,998	0,I94	0,274
0,200	0,25	I,281	I,I77	I,587	-I,270	0,255	0,340
0,247	0,50	I,698	I,528	2,094	-I,635	0,374	0,391
0,296	0,75	2,329	2,015	2,842	-2,II3	0,609	0,375

$$\bar{L} = 2,5; \quad \bar{q}_o = 0,669; \quad \bar{a} = 0,669; \quad E = 2,0$$

\bar{P}	\bar{t}	\bar{y}	$\bar{\psi}$	\bar{y}_c^φ	$\bar{\psi}_c^\varphi$	\bar{Q}_c^φ	\bar{M}_c^φ
0,179	0,00	I,000	I,077	I,784	-I,247	0,457	0,I21
0,229	0,25	I,343	I,429	2,377	-I,637	0,633	0,I24
0,282	0,50	I,901	I,950	3,284	-2,I43	0,986	0,001
0,335	0,75	2,872	2,765	4,737	-2,771	I,727	-0,465

$$\bar{L} = 2,5; \quad \bar{q}_o = I,000; \quad \bar{a} = I,000; \quad E = 2,0$$

\bar{P}	\bar{t}	\bar{y}	$\bar{\psi}$	\bar{y}_c^φ	$\bar{\psi}_c^\varphi$	\bar{Q}_c^φ	\bar{M}_c^φ
0,166	0,00	I,000	I,251	2,349	-I,343	0,886	-0,276
0,219	0,25	I,424	I,751	3,287	-I,823	I,293	-0,469
0,273	0,50	2,225	2,592	4,857	-2,412	2,I77	-I,I01
0,346	0,75	3,982	4,229	7,829	-2,993	4,359	-3,076

Таблица 4 (продолжение)

 $\bar{L} = 2,5; \quad \bar{Q}_o = 1,500; \quad \bar{a} = 1,500; \quad E = 2,0$

\bar{P}	\bar{t}	\bar{y}	$\bar{\psi}$	\bar{y}_o^φ	\bar{y}_o^φ	\bar{Q}_o^φ	\bar{M}_o^φ
0,110	0,00	1,000	1,810	3,532	-1,034	2,266	-1,846
0,160	0,25	1,752	3,048	5,857	-1,469	3,991	-3,420
0,210	0,50	4,137	6,379	II,583	-1,139	9,569	-9,331
0,258	0,75	18,433	23,433	37,182	9,721	43,403	-49,396

 $\bar{L} = 3,0; \quad \bar{Q}_o = 0,111; \quad \bar{x} = 0,111; \quad E = 0,0$

\bar{P}	\bar{t}	\bar{y}	\bar{M}	\bar{y}^φ	\bar{y}_o^φ	\bar{Q}_o^φ	\bar{M}_o^φ
I,070	0,00	I,300	-0,984	0,994	0,116	I,076	-I,103
I,099	0,25	I,029	-I,012	I,022	0,119	I,I07	-I,I35
I,179	0,50	I,113	-I,093	I,105	0,129	I,I97	-I,228
I,299	0,75	I,256	-I,225	I,247	0,150	I,355	-I,392
I,453	I,00	I,476	-I,410	I,460	0,195	I,603	-I,656
I,634	I,25	I,798	-I,656	I,756	0,297	I,988	-2,085

\bar{P}	\bar{t}	\bar{y}	$\bar{\psi}$	\bar{y}_o^φ	\bar{y}_o^φ	\bar{Q}_o^φ	\bar{M}_o^φ
0,418	0,00	I,000	0,662	I,074	-0,660	0,424	-0,047
0,495	0,25	I,197	0,793	I,285	-0,789	0,508	-0,057
0,588	0,50	I,475	0,973	I,583	-0,968	0,630	-0,077
0,692	0,75	I,870	I,221	2,003	-I,204	0,817	-0,I28
0,803	I,00	2,434	I,555	2,593	-I,494	I,117	-0,258
0,915	I,25	3,242	2,002	3,409	-I,812	I,612	-0,562

 $\bar{L} = 3,0; \quad \bar{Q}_o = 250; \quad \bar{a} = 250; \quad \bar{E} = 0,0$

\bar{P}	\bar{t}	\bar{y}	$\bar{\psi}$	\bar{y}_o^φ	\bar{y}_o^φ	\bar{Q}_o^φ	\bar{M}_o^φ
I,187	0,00	I,000	-I,038	0,964	0,297	I,218	-I,340
I,221	0,25	I,030	-I,070	0,994	0,306	I,254	-I,381
I,311	0,50	I,118	-I,158	I,078	0,333	I,362	-I,500
I,444	0,75	I,270	-I,303	I,223	0,384	I,551	-I,710
I,611	I,00	I,503	-I,506	I,437	0,481	I,850	-2,053
I,809	I,25	I,851	-I,778	I,731	0,678	2,321	-2,616

Таблица 4 (продолжение)

\bar{P}	\bar{t}	\bar{y}	$\bar{\psi}$	\bar{y}_o^φ	$\bar{\psi}_o^\varphi$	\bar{Q}_o^φ	\bar{M}_o^φ
0,476	0,00	I,000	0,684	I,I70	-0,669	0,509	-0,I24
0,566	0,25	I,204	0,823	I,409	-0,805	0,614	-0,I5I
0,668	0,50	I,496	I,0I8	I,748	-0,99I	0,769	-0,I98
0,780	0,75	I,9I4	I,285	2,227	-I,232	I,009	-0,298
0,897	I,00	2,5I8	I,649	2,899	-I,5I4	I,397	-0,5I7
I,0I2	I,25	3,402	2,I45	3,829	-I,788	2,044	-0,992

$$\bar{L} = 3,0; \quad \bar{t} = 0,429; \quad \bar{a} = 0,429; \quad E = 0,0$$

\bar{P}	\bar{t}	\bar{y}	$\bar{\psi}$	\bar{y}_o^φ	$\bar{\psi}_o^\varphi$	\bar{Q}_o^φ	\bar{M}_o^φ
I,332	0,00	I,000	-I,I08	0,880	0,602	I,422	-I,705
I,372	0,25	I,032	-I,I44	0,909	0,62I	I,468	-I,760
I,475	0,50	I,I26	-I,244	0,99I	0,679	I,602	-I,92I
I,625	0,75	I,289	-I,407	I,I30	0,786	I,838	-2,209
I,8I3	I,00	I,542	-I,637	I,332	0,982	2,2I9	-2,685
2,036	I,25	I,928	-I,948	I,596	I,358	2,829	-3,48I

\bar{P}	\bar{t}	\bar{y}	$\bar{\psi}$	\bar{y}_o^φ	$\bar{\psi}_o^\varphi$	\bar{Q}_o^φ	\bar{M}_o^φ
0,543	0,00	I,000	0,7I2	I,297	-0,657	0,644	-0,26I
0,646	0,25	I,2I4	0,684	I,575	-0,797	0,873	-0,3I8
0,76I	0,50	I,524	I,077	I,972	-0,985	0,992	-0,4I7
0,88I	0,75	I,976	I,374	2,535	-I,2I8	I,32I	-0,606
I,003	I,00	0,645	I,786	3,325	-I,462	I,860	-0,994
I,I22	I,25	3,663	2,367	4,427	-I,6I9	2,784	-I,80I

$$\bar{L} = 3,0; \quad \bar{a}_o = I,000; \quad \bar{q} = I,000; \quad E = 0,0$$

\bar{P}	\bar{t}	\bar{y}	$\bar{\psi}$	\bar{y}_o^φ	$\bar{\psi}_o^\varphi$	\bar{Q}_o^φ	\bar{M}_o^φ
I,782	0,00	I,000	-I,34I	0,00I	2,350	2,2I0	-3,428
I,844	0,25	I,039	-I,392	0,00I	2,44I	2,296	-3,56I
I,998	0,50	I,I53	-I,537	-0,002	2,7I5	2,550	-3,958
2,2I7	0,75	I,359	-I,775	-0,026	3,23I	3,0I2	-4,688
2,494	I,00	I,696	-2,I23	-0,I33	4,I68	3, 789	-5,954
2,837	I,25	2,249	-2,6I8	-0,499	5,936	5,095	-8,I89

Таблица 4 (продолжение)

\bar{P}	\bar{t}	\bar{y}	$\bar{\psi}$	\bar{y}_o^φ	$\bar{\psi}_o^\varphi$	\bar{Q}_o^φ	\bar{M}_o^φ
0,578	0,00	I,000	0,824	I,673	-0,340	I,308	-I,077
0,819	0,25	I,256	I,033	2,098	-0,421	I,645	-I,359
0,961	0,50	I,657	I,348	2,729	-0,495	2,I89	-I,843
I,098	0,75	2,312	I,832	3,657	-0,457	3,I27	-2,771
I,228	1,00	3,476	2,631	5,028	0,009	4,900	-4,741
I,349	I,25	5,890	4,I61	7,I23	I,988	8,799	-9,597

$$\bar{L} = 3,0; \quad \bar{q}_o = 0,667; \quad \bar{q} = 0,667; \quad \bar{E} = 0,0$$

\bar{P}	\bar{t}	\bar{y}	$\bar{\psi}$	\bar{y}_o^φ	$\bar{\psi}_o^\varphi$	\bar{Q}_o^φ	\bar{M}_o^φ
I,519	0,00	I,000	-I,204	0,653	I,I64	I,730	-2,312
I,568	0,25	I,035	-I,245	0,676	I,205	I,791	-2,393
I,691	0,50	I,I37	-I,363	0,741	I,326	I,968	-2,632
I,867	0,75	I,316	-I,554	0,849	I,553	2,286	-3,063
2,087	I,00	I,602	-I,828	0,991	I,959	2,807	-3,790
2,354	I,25	2,053	-2,209	I,I29	2,729	3,665	-5,043

\bar{P}	\bar{t}	\bar{y}	$\bar{\psi}$	\bar{y}_o^φ	$\bar{\psi}_o^\varphi$	\bar{Q}_o^φ	\bar{M}_o^φ
0,615	0,00	I,000	0,752	I,466	-0,588	0,873	-0,521
0,736	0,25	I,229	0,923	I,800	-0,720	I,075	-0,643
0,863	0,50	I,568	I,I68	2,284	-0,891	I,384	-0,848
0,993	0,75	2,079	I,518	2,976	-I,074	I,885	-I,231
I,119	I,00	2,875	2,026	3,957	-I,I84	2,737	-I,994
I,239	I,25	4,I99	2,807	5,359	-0,978	4,294	-3,612

$$\bar{L} = 3,0; \quad \bar{q}_o = I,500; \quad \bar{q} = I,500; \quad \bar{E} = 0,0$$

\bar{P}	\bar{t}	\bar{y}	$\bar{\psi}$	\bar{y}_o^φ	$\bar{\psi}_o^\varphi$	\bar{Q}_o^φ	\bar{M}_o^φ
2,166	0,00	I,000	-I,462	-2,091	5,I69	2,826	-5,574
2,246	0,25	I,042	-I,523	-2,I79	5,387	2,945	-5,809
2,436	0,50	I,I65	-I,689	-2,443	6,029	3,292	-6,497
2,692	0,75	I,381	-I,949	-2,953	7,207	3,903	-7,736
2,983	I,00	I,717	-2,287	-3,891	9,I80	4,486	-9,732
3,252	I,25	2,I81	-2,638	-5,525	I2,I99	6,094	-I2,598

Таблица 4 (продолжение)

$\bar{\rho}$	\bar{t}	\bar{y}	$\bar{\psi}$	\bar{y}_c^φ	$\bar{\psi}_c^\varphi$	\bar{Q}_c^φ	\bar{M}_c^φ
0,667	0,00	I,000	I,018	I,83I	0,559	2,308	-2,538
0,845	0,25	I,338	I,358	2,435	0,767	3,089	-3,407
I,00I	0,50	I,962	I,958	3,406	I,3I6	4,55I	-5,I22
I,I43	0,75	3,3II	3,I59	4,974	3,I0I	7,754	-9,200
I,273	I,00	7,I85	6,327	7,533	I0,337	I7,047	-22,I6I
I,392	I,25	28,6I9	22,3I5	9,560	62,860	68,40I	-I00,678

$$\bar{L} = 3,0; \quad \bar{q}_o = 0,III; \quad \bar{a} = 0,III; \quad \bar{E} = 2,0$$

$\bar{\rho}$	\bar{t}	\bar{y}	$\bar{\psi}$	\bar{y}_c^φ	$\bar{\psi}_c^\varphi$	\bar{Q}_c^φ	\bar{M}_c^φ
I,I80	0,00	I,000	0,904	I,I03	-0,943	0,I86	0,339
0,226	0,25	I,272	I,I46	I,402	-I,I95	0,240	0,425
0,282	0,50	I,662	I,476	I,829	-I,535	0,337	0,5I9
0,347	0,75	2,2I9	I,9I3	3,432	-I,97I	0,5I3	0,589
0,4I8	I,00	3,002	2,476	3,265	-2,495	0,830	0,570
0,490	I,25	4,096	3,I88	4,387	-3,06I	I,380	0,340

$$\bar{L} = 3,0; \quad \bar{q}_o = 0,250; \quad \bar{a} = 0,250; \quad E = 2,0$$

$\bar{\rho}$	\bar{t}	\bar{y}	$\bar{\psi}$	\bar{y}_c^φ	$\bar{\psi}_c^\varphi$	\bar{Q}_c^φ	\bar{M}_c^φ
0,20I	0,00	I,000	0,949	I,249	-I,043	0,235	0,346
0,254	0,25	I,287	I,2I5	I,606	-I,333	0,309	0,434
0,3I7	0,50	I,703	I,575	2,II4	-I,7I5	0,444	0,5I4
0,387	0,75	2,297	2,048	2,824	-2,I90	0,687	0,540
0,460	I,00	3,I38	2,656	3,792	-2,733	I,II9	0,42I
0,534	I,25	4,334	3,433	5,089	-3,269	I,877	-0,0I7

$$\bar{L} = 3,0; \quad \bar{q}_o = 0,429; \quad \bar{a} = 0,429; \quad \bar{E} = 2,0$$

$\bar{\rho}$	\bar{t}	\bar{y}	$\bar{\psi}$	\bar{y}_c^φ	$\bar{\psi}_c^\varphi$	\bar{Q}_c^φ	\bar{M}_c^φ
0,224	0,00	I,000	I,000	I,466	-I,I66	0,329	0,323
0,285	0,25	I,305	I,294	I,907	-I,503	0,442	0,400
0,354	0,50	I,75I	I,69I	2,530	-I,933	0,644	0,440
0,428	0,75	2,395	2,2II	3,39I	-2,439	I,005	0,370
0,504	I,00	3,324	2,886	4,553	-2,968	I,639	0,048
0,579	I,25	4,694	3,773	6,I08	-3,386	2,758	-0,803

Таблица 4 (продолжение)

$$\bar{L} = 3,0; \quad \bar{Q}_o = 0,667; \quad \bar{a} = 0,667; \quad \bar{E} = 2,0$$

$\bar{\rho}$	\bar{t}	\bar{y}	\bar{y}	\bar{y}_o^φ	\bar{y}_o^φ	\bar{Q}_o^φ	\bar{M}_o^φ
0,246	0,00	I,000	I,058	I,798	-I,303	0,524	0,210
0,315	0,25	I,327	I,389	2,368	-I,692	0,713	0,242
0,390	0,50	I,814	I,836	3,166	-2,159	I,050	0,172
0,467	0,75	2,538	2,430	4,254	-2,653	I,644	-0,130
0,543	I,00	3,632	3,230	5,721	-3,052	2,695	-0,926
0,617	I,25	5,397	4,375	7,722	-3,049	4,646	-2,814

$$\bar{L} = 3,0; \quad \bar{Q}_o = I,000; \quad \bar{a} = I,000; \quad \bar{E} = 2,0$$

$\bar{\rho}$	\bar{t}	\bar{y}	\bar{y}	\bar{y}_o^φ	\bar{y}_o^φ	\bar{Q}_o^φ	\bar{M}_o^φ
0,256	0,00	I,000	I,I38	2,311	-I,367	0,963	-0,179
0,331	0,25	I,360	I,525	3,096	-I,783	I,335	-0,310
0,409	0,50	I,925	2,066	4,183	-2,204	I,997	-0,718
0,486	0,75	2,834	2,835	5,673	-2,477	3,190	-1,721
0,560	I,00	4,415	4,018	7,751	-2,184	5,486	-4,101
0,631	I,25	7,644	6,167	I0,798	0,085	I0,584	-I0,276

$$\bar{L} = 3,0; \quad \bar{Q}_o = I,500; \quad \bar{a} = I,500; \quad \bar{E} = 2,0$$

$\bar{\rho}$	\bar{t}	\bar{y}	\bar{y}	\bar{y}_o^φ	\bar{y}_o^φ	\bar{Q}_o^φ	\bar{M}_o^φ
0,223	0,00	I,000	I,329	3,027	-0,846	2,149	-I,612
0,297	0,25	I,453	I,889	4,236	-I,038	3,145	-2,469
0,371	0,50	2,312	2,817	5,975	-0,753	5,104	-4,518
0,442	0,75	4,186	4,591	8,567	I,240	9,500	-9,864
0,510	I,00	9,625	9,149	I2,631	I0,854	22,492	-27,707
0,577	I,25	40,191	32,082	I6,163	85,032	95,670	-I39,227

Таблица 4 (продолжение)

 $\bar{L} = 3,5; \quad \bar{Q}_o = 0,III; \quad \bar{Q} = 0,III; \quad E = 0,0$

\bar{P}	\bar{t}	\bar{y}	\bar{M}	\bar{y}_o^φ	\bar{y}_o^φ	\bar{Q}_o^φ	\bar{M}_o^φ
I,I32	0,00	I,000	-I,004	0,994	0,II9	I,I39	-I,I3I
I,I65	0,250	I,029	-I,034	I,023	0,I22	I,I72	-I,I64
I,25I	0,500	I,II4	-I,II7	I,I07	0,I33	I,269	-I,260
I,35I	0,750	I,258	-I,252	I,249	0,I54	I,436	-I,428
I,546	I,000	I,475	-I,439	I,459	0,I98	I,695	-I,695
I,739	I,250	I,784	-I,682	I,743	0,297	2,084	-2,II5
I,955	I,500	2,2I5	-I,980	2,099	0,5I8	2,663	-2,78I
2,I89	I,750	2,808	-2,340	2,495	0,993	3,528	-3,860

\bar{P}	\bar{t}	\bar{y}	\bar{y}	\bar{y}_o^φ	\bar{y}_o^φ	\bar{Q}_o^φ	M_o^φ
0,457	0,00	I,000	0,673	I,075	-0,670	0,463	-0,05I
0,544	0,250	I,200	0,807	I,290	-0,804	0,556	-0,062
0,649	0,500	I,484	0,995	I,595	-0,989	0,692	-0,084
0,772	0,750	I,888	I,252	2,024	-I,234	0,899	-0,I38
0,908	I,000	2,457	I,596	2,62I	-I,534	I,225	-0,27I
I,052	I,250	3,249	2,044	3,422	-I,856	I,74I	-0,569
I,20I	I,500	4,33I	2,6I3	4,448	-2,II2	2,553	-I,I82
I,346	I,750	5,800	3,327	5,686	-2,I22	3,820	-2,359

Таблица 4 (продолжение)

$$\bar{L} = 3,5; \quad \bar{a}_o = 0,250; \quad \bar{a} = 0,250; \quad \bar{E} = 0,0$$

\bar{P}	\bar{t}	\bar{y}	\bar{M}	\bar{y}_o^φ	\bar{y}_o^φ	\bar{Q}_o^φ	\bar{M}_o^φ
I,255	0,00	I,000	-I,054	0,964	0,303	I,286	-I,374
I,291	0,25	I,031	-I,086	0,993	0,313	I,325	-I,415
I,388	0,50	I,119	-I,177	I,078	0,340	I,439	-I,537
I,530	0,75	I,270	-I,322	I,221	0,392	I,637	-I,751
I,708	I,00	I,496	-I,524	I,429	0,487	I,942	-2,091
I,914	I,25	I,820	-I,781	I,703	0,672	2,403	-2,626
2,I42	I,50	2,273	-2,I00	2,026	I,041	3,091	-3,479
2,389	I,75	2,908	-2,487	2,340	I,779	4,I26	-4,866

\bar{P}	\bar{t}	\bar{y}	$\bar{\psi}$	\bar{y}_o^φ	\bar{y}_o^φ	\bar{Q}_o^φ	\bar{M}_o^φ
0,525	0,00	I,000	0,692	I,I72	-0,675	0,558	-0,I37
0,626	0,25	I,207	0,835	I,414	-0,815	0,674	-0,I66
0,744	0,50	I,503	I,035	I,759	-I,005	0,845	-0,217
0,878	0,75	I,925	I,308	2,243	-I,251	I,I08	-0,323
I,023	I,00	2,520	I,672	2,907	-I,535	I,520	-0,546
I,I74	I,25	3,350	2,I45	3,782	-I,799	2,I67	-I,000
I,326	I,50	4,490	2,747	4,873	-I,917	3,I80	-I,878
I,472	I,75	6,062	3,510	6,I40	-I,631	4,761	-3,518

Таблица 4 (продолжение)

$$\bar{L} = 3,5; \quad \bar{Q}_o = 0,429; \quad \bar{\alpha} = 0,429; \quad E = 0,0$$

$\bar{\rho}$	\bar{t}	\bar{y}	\bar{M}	\bar{y}_o^φ	\bar{y}_o^φ	\bar{Q}_o^φ	\bar{M}_o^φ
I,404	0,000	I,000	-I,II5	0,879	0,6II	I,494	I,743
I,447	0,250	I,032	-I,I5I	0,907	0,63I	I,543	-I,800
I,556	0,500	I,I25	-I,25I	0,988	0,689	I,682	-I,963
I,7I4	0,750	I,284	-I,4II	I,I23	0,795	I,924	-2,249
I,908	I,000	I,523	-I,629	I,3I4	0,983	2,300	-2,707
2,I30	I,250	I,867	-I,9I0	I,548	I,322	2,869	-3,43I
2,376	I,500	2,357	-2,258	I,784	I,958	3,725	-4,593
2,643	I,750	3,063	-2,69I	I,906	3,I85	5,032	-6,5II

$\bar{\rho}$	\bar{t}	\bar{y}	\bar{y}	\bar{y}_o^φ	\bar{y}_o^φ	\bar{Q}_o^φ	\bar{M}_o^φ
0,607	0,000	I,000	0,7I5	I,298	-0,655	0,708	-0,288
0,724	0,250	I,2I5	0,868	I,577	-0,794	0,86I	-0,352
0,859	0,500	I,525	I,083	I,974	-0,982	I,090	-0,458
I,006	0,750	I,969	I,376	2,527	-I,2I0	I,44I	-0,657
I,I6I	I,000	2,599	I,766	3,273	-I,438	I,990	-I,039
I,3I8	I,250	3,482	2,273	4,226	-I,570	2,846	-I,764
I,47I	I,500	4,7I4	2,925	5,368	-I,404	4,I84	-3,I08
I,6I5	I,750	6,475	3,779	6,603	-0,524	6,304	-5,588

Таблица 4 (продолжение)

$$\bar{L} = 3,5; \quad \bar{q}_o = 0,667; \quad \bar{Q} = 0,667; \quad \bar{E} = 0,0$$

\bar{P}	\bar{t}	\bar{y}	\bar{M}	\bar{y}_o^φ	$\bar{\varphi}_o^\varphi$	\bar{Q}_o^φ	\bar{M}_o^φ
I,592	0,000	I,000	-I,I94	0,652	I,I74	I,802	-2,35I
I,642	0,250	I,034	-I,235	0,674	I,2I4	I,864	-2,432
I,769	0,500	I,I34	-I,348	0,738	I,333	2,044	-2,667
I,947	0,750	I,303	-I,527	0,839	I,548	2,356	-3,08I
2,163	I,000	I,56I	-I,772	0,967	I,9I9	2,845	-3,749
2,409	I,250	I,940	-2,088	I,08I	2,573	3,59I	-4,8I8
2,683	I,500	2,497	-2,49I	I,073	3,77I	4,737	-6,568
2,994	I,750	3,345	-3,0I9	0,667	6,08I	6,543	-9,570

\bar{P}	\bar{t}	\bar{y}	$\bar{\varphi}$	\bar{y}_o^φ	$\bar{\varphi}_o^\varphi$	\bar{Q}_o^φ	\bar{M}_o^φ
0,704	0,000	I,000	0,743	I,456	-0,559	0,962	-0,58I
0,844	0,250	I,225	0,909	I,782	-0,683	I,I8I	-0,7I4
0,996	0,500	I,553	I,I44	2,247	-0,839	I,509	-0,932
I,I57	0,750	2,028	I,464	2,884	-0,995	2,0I6	-I,3I6
I,32I	I,000	2,708	I,892	3,7I5	-I,067	2,803	-2,0I0
I,482	I,250	3,682	2,457	4,727	-0,872	4,035	-3,27I
I,633	I,500	5,I04	3,2I3	5,840	-0,030	5,992	-5,578
I,774	I,750	7,3I9	4,289	6,80I	2,344	9,270	-9,989

Таблица 4 (продолжение)

$$\bar{L} = 3,5; \quad \bar{Q}_o = 1,000; \quad \bar{Q} = 1,000; \quad \bar{E} = 0,0$$

\bar{P}	\bar{E}	\bar{y}	\bar{M}	\bar{y}_o^φ	\bar{y}_o^ψ	\bar{Q}_o^φ	\bar{M}_o^φ
I,834	0,000	I,000	-I,305	0,010	2,340	2,263	-3,445
I,896	0,250	I,038	-I,353	0,010	2,423	2,348	-3,574
2,048	0,500	I,I46	-I,487	0,008	2,686	2,595	-3,951
2,258	0,750	I,334	-I,699	-0,012	3,I58	3,028	-4,624
2,510	I,000	I,628	-I,993	-0,I04	3,973	3,718	-5,733
2,803	I,250	2,079	-2,386	-0,405	5,420	4,800	-7,566
3,I44	I,500	2,79I	-2,920	-I,265	8,I34	6,527	-I0,723
3,576	I,750	3,996	-3,695	-3,610	I3,647	9,416	-I6,558

\bar{P}	\bar{E}	\bar{y}	\bar{y}	\bar{y}_o^φ	\bar{y}_o^ψ	\bar{Q}_o^φ	\bar{M}_o^φ
0,814	0,000	I,000	0,782	I,608	-0,230	I,436	-I,210
0,979	0,250	I,239	0,967	I,990	-0,280	I,782	-I,504
I,I52	0,500	I,595	I,232	2,528	-0,308	2,309	-I,981
I,325	0,750	2,I22	I,600	3,239	-0,219	3,I29	-2,800
I,494	I,000	2,909	2,I08	4,I06	0,I95	4,42I	-4,239
I,653	I,250	4,II9	2,824	5,022	I,393	6,5I9	-6,879
I,799	I,500	6,I38	3,9I7	5,646	4,5I2	I0,I66	-I2,000
I,934	I,750	I0,I08	5,890	4,69I	I3,I28	I7,476	-23,789

Таблица 4 (продолжение)

$$\bar{L} = 3,5; \quad \bar{a}_o = 1,500; \quad \bar{\alpha} = 1,500; \quad \bar{E} = 0,0$$

\bar{P}	\bar{t}	\bar{y}	\bar{M}	\bar{y}_o^φ	$\bar{y}_o^{\varphi\varphi}$	\bar{Q}_o^φ	\bar{M}_o^φ
2,184	0,000	1,000	-1,492	-2,133	5,232	2,837	-5,627
2,267	0,250	1,042	-1,555	-2,225	5,457	2,959	-5,869
2,465	0,500	1,169	-1,730	-2,504	6,127	3,317	-6,584
2,738	0,750	1,396	-2,014	-3,054	7,385	3,961	-7,900
3,078	1,000	1,772	-2,428	-4,136	9,639	5,015	-10,168
3,496	1,250	2,400	-3,020	-6,395	13,821	6,712	-14,132
4,025	1,500	3,475	-3,875	-11,362	21,912	9,381	-21,229
4,644	1,750	5,208	-4,985	-21,870	36,854	12,931	-33,047

\bar{P}	\bar{t}	\bar{y}	\bar{y}	\bar{y}_o^φ	$\bar{y}_o^{\varphi\varphi}$	\bar{Q}_o^φ	\bar{M}_o^φ
0,898	0,000	1,000	0,863	1,485	0,936	2,428	-2,797
1,091	0,250	1,271	1,094	1,876	1,197	3,087	-3,563
1,281	0,500	1,699	1,443	2,401	1,725	4,137	-4,844
1,460	0,750	2,400	1,974	2,982	2,906	5,873	-7,137
1,625	1,000	3,635	2,835	3,328	5,727	8,946	-11,612
1,777	1,250	6,174	4,460	2,321	13,276	15,175	-21,725
1,915	1,500	13,189	8,591	-5,831	29,221	31,748	-51,964
2,044	1,750	51,095	29,256	-80,660	206,213	115,362	-225,06

Таблица 4 (продолжение)

$$\bar{L} = 3,5; \quad \bar{Q}_o = 0,III; \quad \bar{q} = 0,III; \quad \bar{E} = 2,0$$

$\bar{\rho}$	\bar{t}	\bar{y}	\bar{y}	\bar{y}_o^φ	\bar{y}_o^φ	\bar{Q}_o^φ	\bar{M}_o^φ
0,195	0,00	I,000	0,934	I,I06	-0,976	0,20I	0,367
0,247	0,25	I,282	I,I93	I,4I8	-I,246	0,262	0,465
0,3I3	0,50	I,692	I,552	I,868	-I,6I7	0,269	0,576
0,392	0,75	2,282	2,035	2,509	-2,I0I	0,564	0,669
0,48I	I,00	3,II4	2,662	3,398	-2,692	0,9II	0,68I
0,579	I,25	4,257	3,45I	4,578	-3,340	I,505	0,495
0,68I	I,50	5,787	4,4II	6,064	-3,922	2,477	-0,08I
0,783	I,75	7,80I	5,552	7,820	-4,205	4,0I5	-I,356

$$\bar{L} = 3,5; \quad \bar{Q}_o = 0,250; \quad \bar{q} = 0,250; \quad \bar{E} = 2,0$$

$\bar{\rho}$	\bar{t}	\bar{y}	\bar{y}	\bar{y}_o^φ	\bar{y}_o^φ	\bar{Q}_o^φ	\bar{M}_o^φ
0,220	0,00	I,000	0,98I	I,258	-I,084	0,254	0,380
0,28I	0,25	I,299	I,267	I,632	-I,398	0,337	0,48I
0,356	0,50	I,735	I,660	2,I70	-I,8I8	0,487	0,580
0,442	0,75	2,363	2,I83	2,926	-2,350	0,755	0,632
0,539	I,00	3,245	2,855	3,953	-2,965	I,22I	0,547
0,642	I,25	4,452	3,690	5,280	-3,579	I,998	0,I7I
0,746	I,50	6,066	4,698	6,896	-4,0I8	3,243	-0,74I
0,847	I,75	8,2I0	5,90I	8,728	-3,954	5,I93	-2,599

$$\bar{L} = 3,5; \quad \bar{Q}_o = 0,429; \quad \bar{q} = 0,429; \quad \bar{E} = 2,0$$

$\bar{\rho}$	\bar{t}	\bar{y}	\bar{y}	\bar{y}_o^φ	\bar{y}_o^φ	\bar{Q}_o^φ	\bar{M}_o^φ
0,250	0,00	I,000	I,035	I,486	-I,222	0,356	0,363
0,32I	0,25	I,3I7	I,353	I,95I	-I,590	0,48I	0,456
0,406	0,50	I,784	I,786	2,6I4	-2,067	0,705	0,5I8
0,502	0,75	2,457	2,356	3,526	-2,637	I,097	0,476
0,605	I,00	3,399	3,079	4,728	-3,237	I,759	0,200
0,7I2	I,25	4,685	3,968	6,223	-3,726	2,829	-0,52I
0,8I6	I,50	6,4I9	5,04I	7,960	-3,835	4,5I5	-2,034
0,9I5	I,75	8,797	6,35I	9,799	-3,048	7,I69	-4,960

Таблица 4 (продолжение)

$$\bar{L} = 3,5; \quad \bar{a}_o = 0,667; \quad \bar{\alpha} = 0,667; \quad \bar{E} = 2,0$$

$\bar{\rho}$	\bar{t}	\bar{y}	\bar{y}	\bar{y}_o^φ	\bar{y}_o^φ	\bar{Q}_o^φ	\bar{M}_o^φ
0,283	0,00	I,000	I,096	I,838	-I,382	0,564	0,260
0,368	0,25	I,339	I,451	2,443	-I,813	0,774	0,309
0,464	0,50	I,842	I,931	3,286	-2,335	I,141	0,263
0,569	0,75	2,567	2,556	4,408	-2,891	I,762	-0,000
0,677	I,00	3,585	3,339	5,816	-3,350	2,771	-0,681
0,785	I,25	4,991	4,303	7,467	-3,461	4,367	-2,109
0,886	I,50	6,959	5,499	9,232	-2,735	6,886	-4,873
0,981	I,75	9,902	7,077	I0,788	-0,085	II,042	-I0,262

$$\bar{L} = 3,5; \quad \bar{a}_o = I,000; \quad \bar{\alpha} = I,000; \quad \bar{E} = 2,0$$

$\bar{\rho}$	\bar{t}	\bar{y}	\bar{y}	\bar{y}_o^φ	\bar{y}_o^φ	\bar{Q}_o^φ	\bar{M}_o^φ
0,318	0,00	I,000	I,162	2,387	-I,482	I,034	-0,122
0,416	0,25	I,363	I,562	3,206	-I,944	I,434	-0,233
0,522	0,50	I,910	2,098	4,297	-2,412	2,109	-0,597
0,632	0,75	2,709	2,791	5,659	-2,732	3,204	-I,437
0,740	I,00	3,860	3,673	7,231	-2,610	4,943	-3,131
0,842	I,25	5,559	4,817	8,852	-I,449	7,732	-6,395
0,937	I,50	8,285	6,430	I0,080	2,189	I2,501	-I2,918
I,025	I,75	I3,500	9,159	9,298	I2,841	2I,950	-27,802

$$\bar{L} = 3,5; \quad \bar{a}_o = I,500; \quad \bar{\alpha} = I,500; \quad \bar{E} = 2,0$$

$\bar{\rho}$	\bar{t}	\bar{y}	\bar{y}	\bar{y}_o^φ	\bar{y}_o^φ	\bar{Q}_o^φ	\bar{M}_o^φ
0,329	0,00	I,000	I,244	3,082	-0,968	2,247	-I,547
0,434	0,25	I,398	I,706	4,168	-I,183	3,158	-2,275
0,541	0,50	2,030	2,345	5,467	-I,026	4,649	-3,757
0,643	0,75	3,041	3,235	6,838	0,045	7,045	-6,650
0,740	I,00	4,771	4,564	7,879	3,342	II,342	-I2,492
0,831	I,25	8,251	6,913	7,II6	I2,977	I9,831	-25,901
0,917	I,50	I7,786	I2,657	-3,213	47,414	42,334	-66,511
I,000	I,75	69,508	40,995	-I04,251	274,I74	I56,466	-302,I20

Таблица 4 (продолжение)

$$\bar{L} = 4,0; \quad \bar{\alpha}_o = 0, III; \quad \bar{\alpha} = 0, III; \quad \bar{F} = 0,0$$

\bar{P}	\bar{t}	\bar{y}	\bar{M}	\bar{y}_o^φ	$\bar{y}_o^{\varphi\varphi}$	\bar{Q}_o^φ	\bar{M}_o^φ
I,17I	0,00	I,000	-I,029	0,993	0,I22	I,777	-I,I59
I,205	0,25	I,030	-I,060	I,023	0,I25	I,2I2	-I,I94
I,297	0,50	I,II7	-I,I47	I,I09	0,I36	I,3I5	-I,295
I,436	0,75	I,265	-I,289	I,256	0,I58	I,492	-I,472
I,6I45	I,00	I,488	-I,488	I,47I	0,204	I,767	-I,753
I,827	I,25	I,805	-I,745	I,763	0,307	2,I79	-2,I93
2,068	I,50	2,244	-2,063	2,I27	0,53I	2,787	-2,884
2,330	I,75	2,835	-2,440	2,524	I,00I	3,673	-3,973
2,608	2,0	3,6I8	-2,877	2,855	I,929	4,939	-5,675
2,894	2,25	4,645	-3,374	2,909	3,678	6,72I	-8,325
\bar{P}	\bar{t}	\bar{y}	\bar{y}	\bar{y}_o^φ	$\bar{y}_o^{\varphi\varphi}$	\bar{Q}_o^φ	\bar{M}_o^φ
0,469	0,00	I,000	0,682	I,076	-0,679	0,476	-0,053
0,560	0,25	I,204	0,820	I,295	-0,8I7	0,573	-0,064
0,672	0,50	I,494	I,0I5	I,606	-I,009	0,7I6	-0,086
0,804	0,75	I,9I0	I,284	2,049	-I,265	0,934	-0,I43
0,954	I,0	2,50I	I,647	2,670	-I,584	I,280	-0,28I
I,I2I	I,25	3,332	2,I28	3,5I2	-I,935	I,832	-0,59I
I,299	I,50	4,472	2,745	4,599	-2,289	2,698	-I,226
I,487	I,75	6,002	3,5I4	5,902	-2,288	4,027	-2,422
I,675	2,00	8,002	4,447	7,292	-I,79I	5,996	-4,529
I,856	2,25	I0,575	5,555	8,48I	-Q,202	8,827	-8,059

Таблица 4 (продолжение)

$$\bar{L} = 4,0; \quad \bar{a}_o = 0,250; \quad \bar{a} = 0,250; \quad \bar{E} = 0,0$$

$\bar{\rho}$	\bar{t}	\bar{y}	\bar{M}	\bar{y}_o^ϕ	\bar{y}_o^ψ	\bar{Q}_o^ϕ	\bar{M}_o^ϕ
I,300	0,00	I,000	-I,080	0,963	0,3II	I,33I	-I,4II
I,339	0,25	I,03I	-I,II4	0,993	0,32I	I,373	-I,453
I,442	0,50	I,I22	-I,209	I,080	I,350	I,494	-I,584
I,595	0,75	2,276	-I,363	I,227	0,404	I,704	-I,808
I,789	I,00	I,508	-I,575	I,439	0,504	2,028	-2,I66
2,0I6	I,25	I,888	-I,848	I,7I8	0,895	2,5I3	-2,724
2,269	I,50	2,293	-2,I8I	2,044	I,066	3,226	-3,596
2,543	I,75	2,907	-2,575	2,349	I,779	4,254	-4,956
2,829	2,00	3,722	-3,030	2,489	3,I09	5,7I4	-7,068
3,I23	2,25	4,805	-3,550	2,I6I	5,539	7,758	-I0,348

$\bar{\rho}$	\bar{t}	\bar{y}	\bar{y}	\bar{y}_o^ϕ	\bar{y}_o^ψ	\bar{Q}_o^ϕ	\bar{M}_o^ϕ
0,542	0,00	I,000	0,702	I,I74	-0,685	0,575	-0,I4I
0,648	0,25	I,2II	0,850	I,422	-0,829	0,696	-0,I7I
0,774	0,50	I,5I4	I,058	I,775	-I,027	0,877	-0,225
0,920	0,75	I,949	I,344	2,276	-I,285	I,I56	-0,336
I,084	I,00	2,569	I,73I	2,969	-I,588	I,595	-0,569
I,262	I,25	3,437	2,238	3,889	-I,880	2,286	-I,043
I,45I	I,50	4,625	2,883	5,036	-2,032	3,357	-I,948
I,843	I,75	6,2II	3,683	6,337	-I,803	4,968	-3,57I
I,833	2,00	8,283	4,647	7,593	-0,775	7,3I7	-6,332
2,0II	2,25	I0,975	5,798	8,389	I,757	I0,660	-I0,875

Таблица 4 (приложение)

 $\bar{L} = 4,0; \bar{a}_o = 0,429;$ $\bar{a} = 0,429;$ $\bar{E} = 0,0$

$\bar{\rho}$	\bar{t}	\bar{y}	\bar{M}	\bar{y}_o^φ	$\bar{y}_o^{\varphi\varphi}$	\bar{Q}_o^φ	\bar{M}_o^φ
I,46I	0,00	I,000	-I,I43	0,875	0,628	I,55I	-I,795
I,506	0,25	I,033	-I,I80	0,904	0,649	I,602	-I,854
I,623	0,50	I,I28	-I,285	0,987	0,709	I,750	-2,026
I,794	0,75	I,290	-I,453	I,I25	0,82I	2,006	-2,327
2,005	I,00	I,533	-I,682	I,3I7	I,0I5	2,403	-2,805
2,250	I,75	I,878	-I,973	I,552	I,36I	2,993	-3,549
2,5I8	I,50	2,355	-2,327	I,78I	I,986	3,853	-4,702
2,804	I,75	2,999	-2,743	I,893	3,II4	5,084	-6,487
3,I0I	2,0	3,866	-3,224	I,650	5,I36	6,8I8	-9,248
3,409	2,25	5,050	-3,786	0,569	8,770	9,248	-I3,574

$\bar{\rho}$	\bar{t}	\bar{y}	\bar{y}	\bar{y}_o^φ	$\bar{y}_o^{\varphi\varphi}$	\bar{Q}_o^φ	\bar{M}_o^φ
0,63I	0,00	I,000	0,726	I,303	-0,664	0,732	-0,366
0,756	0,25	I,2I9	0,885	I,588	-0,808	0,893	-0,366
0,90I	0,50	I,537	I,I09	I,996	-I,004	I,I35	-0,478
I,065	0,75	I,986	I,4I7	2,569	-I,243	I,509	0,688
I,245	I,00	2,449	I,83I	3,347	-I,489	2,095	-I,089
I,436	I,25	3,562	2,369	4,342	-I,643	3,003	-I,842
I,634	I,50	4,807	3,048	5,5I2	-I,509	4,379	-3,I93
I,829	I,75	6,465	3,883	6,708	-0,744	6,406	-5,507
2,0I7	2,00	8,648	4,893	7,607	I,238	9,3I6	-9,334
2,I89	2,25	II,568	6,I28	7,556	5,500	I3,462	-I5,608

Таблица 4 (продолжение)

$$\bar{L} = 4,0; \quad \bar{a}_o = 0,667; \quad \bar{a} = 0,677; \quad \bar{E} = 0$$

$\bar{\rho}$	\bar{t}	\bar{y}	\bar{M}	\bar{y}_o^φ	$\bar{y}_o^{\varphi\varphi}$	\bar{Q}_o^φ	\bar{M}_o^φ
I,663	0,00	I,000	-I,219	0,642	I,207	I,873	-2,424
I,717	0,25	I,035	-I,262	0,665	I,249	I,939	-2,509
I,853	0,50	I,I36	-I,379	0,729	I,373	2,I29	-2,755
2,045	0,75	I,307	-I,565	0,829	I,596	2,456	-3,I86
2,279	I,00	I,564	-I,816	0,954	I,974	2,96I	-3,869
2,545	I,25	I,930	-2,I32	I,062	2,6I7	3,709	-4,929
2,832	I,50	2,438	-2,5I3	I,049	3,726	4,789	-6,563
3,I34	I,75	3,I36	-2,963	0,705	5,634	6,322	-9,084
3,450	2,00	4,I04	-3,497	-0,4I6	9,055	8,480	-I3,025
3,79I	2,25	5,52I	-4,I58	-3,297	I5,286	II,556	-I9,432

$\bar{\rho}$	\bar{t}	\bar{y}	\bar{y}	\bar{y}_o^φ	$\bar{y}_o^{\varphi\varphi}$	\bar{Q}_o^φ	\bar{M}_o^φ
0,743	0,00	I,000	0,754	I,46I	-0,562	I,00I	-0,606
0,893	0,25	I,229	0,926	I,795	-0,688	I,233	-0,748
I,063	0,50	I,565	I,I70	2,273	-0,849	I,582	-0,979
I,248	0,75	2,052	I,505	2,929	-I,0I2	2,I7I	-I,386
I,446	I,00	2,746	I,95I	3,783	-I,09I	2,952	-2,II0
I,650	I,25	3,7I4	2,526	4,80I	-0,9I0	4,2I2	-3,38I
I,853	I,50	5,032	3,247	5,854	-0,I55	6,077	-5,539
2,048	I,75	6,807	4,I37	6,648	I,7I9	8,770	-9,I03
2,228	2,00	9,228	5,244	6,584	5,704	I2,629	-I4,953
3,49I	2,25	I2,749	6,709	4,303	I3,947	I8,325	-24,936

Таблица 4 (приложение)

$$\bar{L} = 4,0; \quad \bar{a}_o = 1,000; \quad \bar{a} = 1,000; \quad \bar{E} = 0,0$$

$\bar{\rho}$	\bar{t}	\bar{y}	\bar{M}	\bar{y}_o^Φ	\bar{y}_o^Ψ	\bar{Q}_o^Φ	\bar{M}_o^Φ
I,922	0,00	I,000	-I,3I8	-0,0II	2,397	2,350	-3,546
I,988	0,25	I,038	-I,367	-0,0I2	2,488	2,439	-3,679
2,I49	0,50	I,I46	-I,50I	-0,0I6	2,75I	2,694	-4,066
2,370	0,75	I,329	-I,7II	-0,039	3,223	3,I34	-4,749
2,634	I,00	I,607	-I,992	-0,I32	4,009	3,809	-5,8I8
2,926	I,25	2,008	-2,346	-0,409	5,3I7	4,804	-7,485
3,239	I,50	2,577	-2,778	-I,II8	7,529	6,230	-IO,070
3,576	I,75	3,40I	-3,309	-2,780	II,382	8,258	-I4,I49
3,95I	2,00	4,660	-3,997	-6,600	I8,46I	II,I69	-20,888
4,4I5	2,25	6,809	-4,995	-I5,792	32,748	I5,466	-33,028

$\bar{\rho}$	\bar{t}	\bar{y}	\bar{y}	\bar{y}_o^Φ	\bar{y}_o^Ψ	\bar{Q}_o^Φ	\bar{M}_o^Φ
0,885	0,00	I,000	0,788	I,603	-0,20I	I,507	-I,28I
I,068	0,25	I,24I	0,976	I,986	-0,244	I,873	-I,595
I,267	0,50	I,599	I,245	2,525	-0,262	2,429	-2,099
I,477	0,75	2,I2I	I,6I3	3,227	-0,I59	3,277	-2,944
I,69I	I,00	2,868	2,I00	4,047	0,255	4,558	-4,366
I,902	I,25	3,9I8	2,728	4,835	I,324	6,450	-6,729
2,I02	I,50	5,382	3,527	5,253	3,66I	9,I99	-IO,609
2,286	I,75	7,478	4,567	4,58I	8,446	I3,I99	-I7,047
2,452	2,00	I0,739	6,037	I,056	I8,439	I9,296	-28,48I
2,602	2,25	I6,788	8,525	-I0,943	4I,995	29,470	-5I,529

Таблица 4 (приложение)

 $\bar{L} = 4,0; \quad \bar{Q}_o = 1,500; \quad \bar{Q} = 1,500; \quad \bar{E} = 0,0$

\bar{P}	\bar{t}	\bar{y}	\bar{M}	\bar{y}_o^φ	\bar{y}_o^φ	\bar{Q}_o^φ	\bar{M}_o^φ
2,26I	0,00	I,000	-I,459	-2,I40	5,270	2,916	-5,7II
2,344	0,25	I,042	-I,519	-2,229	5,489	3,037	-5,948
2,54I	0,50	I,16I	-I,68I	-2,494	6,I30	3,387	-6,638
2,806	0,75	I,369	-I,935	-2,999	7,288	3,990	-7,858
3,II7	I,00	I,692	-2,28I	-3,934	9,237	4,918	-9,832
3,467	I,25	2,I86	-2,734	-5,729	I2,558	6,279	-I2,988
3,867	I,50	2,964	-3,342	-9,369	I8,469	8,230	-I8,I72
4,36I	I,75	4,289	-4,2I9	-I7,3I8	29,834	I0,972	-27,403
5,052	2,00	6,799	-5,634	-36,360	53,939	I4,460	-44,203
6,084	2,25	II,74I	-7,984	-83,342	I06,403	I6,I6I	-75,746

\bar{P}	\bar{t}	\bar{y}	\bar{y}	\bar{y}_o^φ	\bar{y}_o^φ	\bar{Q}_o^φ	\bar{M}_o^φ
I,048	0,00	I,000	0,832	I,356	I,I24	2,55I	-3,004
I,27I	0,25	I,258	I,044	I,696	I,426	3,2I0	-3,787
I,499	0,50	I,648	I,350	2,I25	I,98I	4,2I4	-5,034
I,727	0,75	2,34I	I,775	2,532	3,077	5,728	-7,06I
I,943	I,00	3,I00	2,353	2,642	5,246	7,982	-I0,388
2,I44	I,25	4,423	3,I54	I,826	9,545	II,350	-I5,962
2,325	I,50	6,595	4,349	-I,490	I8,447	I6,593	-25,903
2,490	I,75	I0,796	6,455	-I2,3I3	39,382	25,706	-46,300
2,642	2,00	2I,9I8	II,587	-53,445	I04,083	45,694	-I0I,769
2,782	2,25	80,453	36,733	-336,II6	486,049	I22,345	-390,942

Таблица 4 (продолжение)

 $\bar{L} = 4,0; \quad \bar{\alpha}_o = 0,III; \quad \bar{\alpha} = 0,III; \quad \bar{E} = 2,0$

$\bar{\rho}$	\bar{t}	\bar{y}	\bar{y}'	\bar{y}_o^φ	$\bar{y}_o^{\varphi'}$	\bar{Q}_o^φ	\bar{M}_o^φ
0,199	0,00	I,000	0,945	I,I07	-0,988	0,205	0,375
0,253	0,25	I,287	I,2I2	I,424	-I,266	0,268	0,475
0,322	0,50	I,706	I,584	I,885	-I,65I	0,379	0,592
0,406	0,75	2,3I6	2,092	2,550	-2,I62	0,583	0,695
0,506	I,00	3,I90	2,767	3,485	-2,800	0,950	0,720
0,6I9	I,25	4,4I5	3,638	4,754	-3,525	I,585	0,546
0,745	I,50	6,083	4,728	6,386	-4,223	2,634	-0,027
0,879	I,75	8,284	6,047	8,336	-4,657	4,282	-I,305
I,0I6	2,00	II,099	7,589	I0,427	-4,4I8	6,743	-3,720
I,I49	2,25	I4,6I5	9,34I	I2,278	-2,846	I0,263	-7,878

 $\bar{L} = 4,0; \quad \bar{\alpha}_o = 0,250; \quad \bar{\alpha} = 0,250; \quad \bar{E} = 2,0$

$\bar{\rho}$	\bar{t}	\bar{y}	\bar{y}'	\bar{y}_o^φ	$\bar{y}_o^{\varphi'}$	\bar{Q}_o^φ	\bar{M}_o^φ
0,225	0,00	I,000	0,995	I,262	-I,I00	0,259	0,389
0,289	0,25	I,304	I,29I	I,644	-I,425	0,345	0,494
0,368	0,50	I,752	I,70I	2,I98	-I,865	0,50I	0,60I
0,463	0,75	2,405	2,257	2,988	-2,432	0,784	0,664
0,572	I,00	3,339	2,988	4,080	-3,I08	I,280	0,590
0,695	I,25	4,640	3,922	5,523	-3,8I7	2,II6	0,222
0,829	I,50	6,397	5,074	7,3I0	-4,387	3,457	-0,695
0,968	I,75	8,694	6,450	9,334	-4,494	5,505	-2,530
I,I06	2,00	II,6I2	8,038	II,3I7	-3,6II	8,486	-5,796
I,237	2,25	I5,274	9,837	I2,729	-0,878	I2,682	-II,242

Таблица 4 (продолжение)

$$\bar{L} = 4,0; \quad \bar{\alpha}_o = 0,429; \quad \bar{\alpha} = 0,429 \quad \bar{E} = 2,0$$

$\bar{\rho}$	\bar{t}	\bar{y}	\bar{y}	\bar{y}_o^φ	\bar{y}_o^φ	\bar{Q}_o^φ	\bar{M}_o^φ
0,257	0,00	I,000	I,053	I,495	-I,245	0,364	0,375
0,333	0,25	I,324	I,384	I,973	-I,630	0,494	0,474
0,425	0,50	I,807	I,841	2,663	-2,136	0,729	0,545
0,532	0,75	2,512	2,455	3,629	-2,756	I,I46	0,513
0,654	I,00	3,517	3,254	4,926	-3,436	I,856	0,245
0,787	I,25	4,906	4,258	6,569	-4,039	3,0II	-0,480
0,928	I,50	6,762	5,479	8,487	-4,296	4,799	-I,989
I,070	I,75	9,I68	6,912	I0,465	-3,754	7,438	-4,743
I,206	2,00	I0,226	8,553	I2,064	-I,679	II,I85	-9,399
I,332	2,25	I6,I53	I0,438	I2,471	3,200	I6,426	-I7,038

$$\bar{L} = 4,0; \quad \bar{\alpha}_o = 0,667; \quad \bar{\alpha} = 0,667; \quad \bar{E} = 2,0$$

$\bar{\rho}$	\bar{t}	\bar{y}	\bar{y}	\bar{y}_o^φ	\bar{y}_o^φ	\bar{Q}_o^φ	\bar{M}_o^φ
0,296	0,00	I,000	I,I21	I,859	-I,421	0,578	0,276
0,388	0,25	I,349	I,495	2,490	-I,878	0,799	0,333
0,495	0,50	I,873	2,C^0	3,382	-2,445	I,I89	0,296
0,618	0,75	2,640	2,695	4,590	-3,073	I,856	0,037
0,754	I,00	3,727	3,571	6,I32	-3,635	2,944	-0,650
0,897	I,25	5,215	4,652	7,948	-3,879	4,636	-2,078
I,042	I,50	7,I84	5,941	9,838	-3,373	7,I46	-4,690
I,I82	I,75	9,736	7,437	II,390	-I,420	I0,723	-9,II9
I,3II	2,00	I3,071	9,I77	II,835	3,I91	I5,741	-I6,399
I,428	2,25	I7,715	II,3I8	9,525	I3,027	22,976	-28,7I7

Таблица 4 (продолжение)

$$\bar{L} = 4,0; \quad \bar{a}_o = 1,000; \quad \bar{Q} = 1,000; \quad \bar{E} = 2,0$$

$\bar{\rho}$	\bar{t}	\bar{y}	\bar{y}	\bar{y}_o^φ	\bar{y}_o^φ	\bar{Q}_o^φ	\bar{M}_o^φ
0,344	0,00	1,000	1,198	2,444	-1,556	1,068	-0,100
0,455	0,25	1,377	1,627	3,317	-2,064	1,496	-0,206
0,583	0,50	1,951	2,211	4,497	-2,601	2,223	-0,573
0,722	0,75	2,789	2,975	5,986	-3,015	3,399	-1,425
0,869	1,00	3,968	3,932	7,693	-3,020	5,211	-3,100
1,016	1,25	6,571	5,090	9,376	2,133	7,877	-6,075
1,156	1,50	7,716	6,462	10,555	0,442	II,669	-II,058
1,285	1,75	10,644	8,113	10,298	6,166	I7,036	-I9,297
1,401	2,00	15,001	10,271	6,424	I8,424	24,994	-33,669
1,508	2,25	22,814	I3,672	-8,015	47,579	38,359	-62,700

$$\bar{L} = 4,0; \quad \bar{a}_o = 1,500; \quad \bar{Q} = 1,500; \quad \bar{E} = 2,0$$

$\bar{\rho}$	\bar{t}	\bar{y}	\bar{y}	\bar{y}_o^φ	\bar{y}_o^φ	\bar{Q}_o^φ	\bar{M}_o^φ
0,393	0,00	1,000	1,280	3,241	-1,112	2,354	-1,545
0,526	0,25	1,408	1,768	4,416	-1,391	3,330	-2,289
0,670	0,50	2,036	2,426	5,805	-1,324	4,873	-3,756
0,816	0,75	2,959	3,272	7,198	-0,475	7,193	-6,389
0,958	1,00	4,283	4,329	8,165	1,893	I0,555	-I0,856
1,089	1,25	6,206	5,668	7,846	7,144	I5,390	-I8,332
1,209	1,50	9,222	7,496	4,211	I8,431	22,645	-31,498
1,319	1,75	I4,865	I0,493	-9,183	45,351	34,921	-58,243
1,424	2,00	29,558	I7,442	-62,079	I29,424	61,478	-I30,860
1,523	2,25	I06,673	50,752	-431,166	630,883	I62,853	-211,188

Таблица 4 (продолжение)

 $\bar{L} = 5,0; \quad \bar{\alpha}_s = 0,III; \quad \bar{\alpha} = 0,III; \quad \bar{E} = 0,0$

$\bar{\rho}$	\bar{t}	\bar{y}	\bar{M}	\bar{y}_o^φ	$\bar{y}_o^{\varphi\varphi}$	\bar{Q}_o^φ	\bar{M}_o^φ
I,187	0,000	I,000	-I,045	0,993	0,I23	0,I93	-I,I77
I,222	0,250	I,030	-I,076	I,024	0,I27	I,230	-I,2I3
I,3I7	0,500	I,II9	-I,I67	I,III	0,I39	I,336	-I,3I8
I,462	0,750	I,270	-I,3I5	I,26I	0,I6I	I,5I9	-I,50I
I,650	I,000	I,499	-I,523	I,482	0,209	I,806	-I,794
I,877	I,250	I,829	-I,796	I,785	0,3I6	2,239	-2,256
2,I4I	I,500	2,289	-2,I39	8,I68	0,550	2,885	-2,990
2,438	I,750	2,9I9	-2,558	2,595	I,044	3,839	-4,I57
2,768	2,000	3,765	-3,057	2,967	2,025	5,2I9	-5,996
3,I26	2,250	4,878	-3,640	3,070	3,856	7,I58	-8,842
3,508	2,500	6,3I3	-4,305	2,505	7,084	9,778	-I3,II8
3,907	2,750	8,I22	-5,048	0,6II	I2,482	I3,I26	-I9,307

$\bar{\rho}$	\bar{t}	\bar{y}	\bar{y}	\bar{y}_o^φ	$\bar{y}_o^{\varphi\varphi}$	\bar{Q}_o^φ	\bar{M}_o^φ
0,47I	0,000	I,000	0,685	I,076	-0,682	0,478	-0,053
0,563	0,250	I,204	0,825	I,296	-0,822	0,576	-0,064
0,677	0,500	I,498	I,022	I,6II	-I,0I6	0,720	-0,087
0,8I2	0,750	I,9I8	I,296	2,060	-I,277	0,943	-0,I44
0,967	I,000	2,522	I,670	2,693	-I,606	I,297	-0,284
I,I42	I,250	3,378	2,I70	3,562	-I,973	I,867	-0,602
I,337	I,500	4,575	2,327	4,706	-2,297	2,776	-I,26I
I,553	I,750	6,223	3,674	6,I2I	-2,398	4,200	-2,523
I,788	2,000	8,45I	4,747	7,709	-I,943	6,365	-4,79I
2,040	2,250	II,40I	6,078	9,I95	-0,370	9,537	-8,63I
2,307	2,500	I5,2I8	7,693	I0,0I2	3,I90	I3,973	-I4,779
2,582	2,750	20,025	9,600	9,I64	9,962	I9,823	-24,075

Таблица 4 (продолжение)

 $\bar{L} = 5.0; \quad \bar{a}_o = 0.250; \quad \bar{a} = 0.250; \quad \bar{E} = 0.0$

$\bar{\rho}$	$\bar{\epsilon}$	\bar{y}	\bar{M}	\bar{y}_o^φ	\bar{y}_o^φ	\bar{Q}_o^φ	\bar{M}_o^φ
I,322	0,000	I,000	-I,I00	0,962	0,3I7	I,353	-I,436
I,362	0,250	I,032	-I,I35	0,993	0,327	I,396	-I,482
I,470	0,500	I,I25	-I,234	I,082	0,357	I,522	-I,6I5
I,630	0,750	I,283	-I,394	I,232	0,4I3	I,740	-I,850
I,836	I,000	I,522	-I,6I9	I,45I	0,5I8	2,08I	-2,225
2,082	I,250	I,867	-I,9II	I,742	0,7I8	2,594	-2,8I6
2,365	I,500	2,347	-2,277	2,087	I,III	3,358	-3,748
2,682	I,750	3,004	-2,720	2,42I	I,867	4,473	-5,2I5
3,030	2,000	3,882	-3,244	2,593	3,273	6,063	-7,493
3,405	2,250	5,034	-3,852	2,308	5,773	8,254	-I0,954
3,800	2,500	6,5II	-4,540	I,047	I0,0II	II,I29	-I6,043
4,206	2,750	8,360	-5,298	-2,0I0	I6,842	I4,663	-23,229

$\bar{\rho}$	$\bar{\epsilon}$	\bar{y}	\bar{y}	\bar{y}_o^φ	\bar{y}_o^φ	\bar{Q}_o^φ	\bar{M}_o^φ
0,545	0,000	I,000	0,707	I,I75	-0,689	0,578	-0,I42
0,652	0,250	I,2I2	0,856	I,425	-0,835	0,70I	-0,I73
0,78I	0,500	I,5I8	I,068	I,782	-I,037	0,885	-0,227
0,932	0,750	I,96I	I,36I	2,292	-I,30I	I,I69	-0,340
I,I02	I,000	2,586	I,76I	3,004	-I,6I6	I,62I	-0,579
I,294	I,250	2,499	2,295	3,963	-I,929	2,343	-I,069
I,505	I,500	4,76I	2,994	5,I89	-2,II3	3,480	-2,0I8
I,736	I,750	6,494	3,892	6,635	-I,920	5,230	-3,752
I,986	2,000	8,829	5,022	8,I22	-0,9II	7,840	-6,748
2,252	2,250	II,904	6,4I5	9,240	I,6I9	II,572	-II,655
2,530	2,500	I5,85I	8,087	9,2I9	6,7I0	I6,634	-I9,260
2,8I0	2,750	20,769	I0,037	6,794	I5,755	23,057	-30,387

Таблица 4 (продолжение)

$$\bar{L} = 5,0; \quad \bar{\alpha}_o = 0,429; \quad \bar{\alpha} = 0,429; \quad \bar{E} = 0,0$$

$\bar{\rho}$	\bar{t}	\bar{y}	\bar{M}	\bar{y}_o^*	$\bar{y}_o^{*\phi}$	\bar{Q}_o^*	\bar{M}_o^*
I,49I	0,000	I,000	-I,I68	0,873	0,642	I,58I	-I,833
I,540	0,250	I,035	-I,209	0,903	0,664	I,637	-I,887
I,662	0,500	I,I3I	-I,3I7	0,987	0,727	I,790	-2,075
I,844	0,750	I,300	-I,495	I,I29	0,846	2,062	-2,395
2,07I	I,000	I,55I	-I,739	I,327	I,050	2,479	-2,898
2,343	I,250	I,9I6	-2,058	I,573	I,422	3,II6	-3,702
2,649	I,500	2,4I9	-2,449	I,8I9	2,082	4,039	-4,936
2,99I	I,750	3,II3	-2,924	I,94I	3,300	5,388	-6,883

$\bar{\rho}$	\bar{t}	\bar{y}	\bar{y}	\bar{y}_o^*	$\bar{y}_o^{*\phi}$	\bar{Q}_o^*	\bar{M}_o^*
0,636	0,000	I,000	0,732	I,305	-0,669	0,737	-0,30I
0,764	0,250	I,224	0,895	I,596	-0,8I7	0,903	-0,370
0,9I3	0,500	I,544	I,I23	2,009	-I,0I7	I,I49	-0,484
I,084	0,750	2,0I7	I,444	2,60I	-I,265	I,539	-0,703
I,275	I,000	2,689	I,875	3,404	-I,526	2,I43	-I,II5
I,488	I,250	3,657	2,455	4,463	-I,696	3,II3	-I,9I6
I,7I9	I,500	4,992	3,204	5,738	-I,595	4,589	-3,342
I,97I	I,750	6,843	4,I69	7,II2	-0,8I8	6,845	-5,879

Таблица 4 (продолжение)

$$\bar{L} = 5,0; \quad \bar{Q}_o = 1,000; \quad \bar{Q} = 1,000; \quad \bar{E} = 0,0$$

$\bar{\rho}$	\bar{t}	\bar{y}	\bar{M}	\bar{y}_o^φ	\bar{y}_o^φ	\bar{Q}_o^φ	\bar{M}_o^φ
2,005	0,00	I,000	I,365	-0,048	2,485	2,430	-3,674
2,076	0,25	I,039	-I,417	-0,050	2,582	2,525	-3,818
2,252	0,50	I,I51	-I,562	-0,059	2,865	2,799	-4,233
2,499	0,75	I,343	-I,790	-0,091	3,374	3,272	-4,963
2,801	I,00	I,633	-2,099	-0,198	4,220	4,002	-6,124
3,145	I,25	2,048	-2,489	-0,499	5,613	5,069	-7,910
3,524	I,50	2,624	-2,962	-I,225	7,891	6,562	-10,597
3,928	I,75	3,400	-3,515	-2,788	II,561	8,544	-14,533
4,348	2,00	4,419	-4,I42	-5,858	I7,326	I0,995-20,101	
4,772	2,25	5,730	-4,836	II,471	26,III	I3,723	-27,654
5,191	2,50	7,399	-5,592	2I,236	39,I62	I6,239	-37,449
5,602	2,75	9,569	-6,425	37,958	58,466	I7,505	-49,662

$\bar{\rho}$	\bar{t}	\bar{y}	\bar{y}	\bar{y}_o^φ	\bar{y}_o^φ	\bar{Q}_o^φ	\bar{M}_o^φ
0,910	0,00	I,000	0,802	I,613	-0,202	I,535	-I,308
I,104	0,25	I,247	0,999	2,007	-0,247	I,916	-I,636
I,320	0,50	I,616	I,282	2,568	-0,266	2,501	-2,I67
I,557	0,75	2,I63	I,676	3,3II	-0,I61	3,406	-3,066
I,814	I,00	2,958	2,2II	4,201	0,268	4,793	-4,597
2,090	I,25	4,090	2,9I5	5,092	I,382	6,866	-7,I56
2,381	I,50	5,659	3,8I6	5,647	3,773	9,852	-II,291
2,683	I,75	7,773	4,938	5,2I8	8,327	I3,938	-I7,684
2,987	2,00	I0,532	6,291	2,721	I6,261	I9,I73	-27,075
3,281	2,25	I4,025	7,869	-3,502	29,II9	25,3I3	-40,I21
3,553	2,50	I8,363	9,669	I5,928	48,868	3I,652	-57,291
3,793	2,75	23,8I7	II,735	38,752	78,6I2	36,773	-79,047

5. ПРИМЕРЫ РАСЧЕТА

Пример I. Требуется определить горизонтальное перемещение Δ_g и угол поворота головы свай φ , а также предельную несущую способность свай P_{pr} . Свая железобетонная круглая, полая с наружным диаметром $d = 0,6$ м и внутренним диаметром $d_b = 0,4$ м. Голова свай расположена на расстоянии $l_0 = 2$ м от поверхности грунта. Свай погружена в мелкий песок, коэффициент пористости песка $e = 0,65$, модуль деформации $E = 27,0$ МПа, фактическая глубина погружения $L = 8$ м. Начальный модуль упругости бетона тона $E_0 = 2,9 \cdot 10^4$ МПа. К голове свай приложены внешние нагрузки в виде вертикальной силы N , горизонтальной силы P и момента M нормативные значения которых соответственно равны 300 кН, 40 кН и 20 кН·м. Предельный изгибающий момент, воспринимаемый поперечным сечением свай равен 150 кН·м. Коэффициенты перегрузки в расчетах по первой группе предельных состояний: для вертикальной силы 1,1 или 0,9, для горизонтальной силы и момента - 1,2.

Решение. Момент инерции поперечного сечения свай

$$J = \frac{3,14 (0,6^4 - 0,4^4)}{64} = 5,1 \cdot 10^{-3} \text{ м}^4.$$

Жесткость поперечного сечения свай при изгибе

$$E_0 J = 2,9 \cdot 10^4 \cdot 5,1 \cdot 10^{-3} = 14,8 \cdot 10^4 \text{ кН} \cdot \text{м}^2.$$

В соответствии с п. I.7 определяем условную ширину свай

$$b_c = 1,5 d + 0,5 = 1,5 \cdot 0,6 + 0,5 = 1,4 \text{ м.}$$

Согласно табл. I для мелкого песка с $e = 0,65$ и $E = 27,0$ МПа коэффициент пропорциональности $K = 9000 \text{ кН}/\text{м}^4$, прочностной коэффициент пропорциональности $A_1 = 53 \text{ кН}/\text{м}^3$.

Вычисляем коэффициент деформации по формуле (I.10)

$$\alpha_g = \sqrt[5]{\frac{K b_1}{E J}} = \sqrt[5]{\frac{9000 \cdot 1,4}{14,8 \cdot 10^4}} = 0,614.$$

По формуле (I.9) определяем приведенную глубину погружения свай

$$\bar{L} = \alpha_g L = 0,614 \cdot 8 = 4,9 > 4.$$

Определяем приведенный эксцентриситет приложения внешней нагрузки

$$\bar{E} = \alpha_g \left(\frac{M + P l_0}{P} \right) = \left(\frac{20 + 40 \cdot 2}{40} \right) \cdot 0,616 = 1,53.$$

Приняв, согласно табл.3 при $\bar{L} = 4$ и $\bar{E} = 1,6$, $\bar{P}_{rp}^{up} = 0,199$ при $\bar{t} = 0$, вычисляем P_{rp}^{up} по формуле (2.1).

$$P_{rp}^{up} = \frac{\bar{P}_{rp}^{up} \cdot b_c \cdot a_1}{d_g^2} = \frac{0,199 \cdot 1,4 \cdot 53}{0,614^2} = 39 \text{ кН}$$

Т.к. сила $P_{rp}^{up} < P = 40$ кН, то расчет ведется по второй стадии работы системы свая-грунт.

Определяем величину приведенной силы \bar{P} , соответствующей внешней силе P , по формуле (2.12)

$$\bar{P} = \frac{P d_g^2}{a_1 b_c} = \frac{4,0 \cdot 0,614^2}{1,4 \cdot 5,3} = 0,203.$$

По табл.3 определяем значения \bar{y} и $\bar{\varphi}$, соответствующие значению \bar{P}

$$y = 1,03; \quad \bar{y} = 0,90$$

По формулам (2.10) и (2.11) вычисляем перемещения свай на уровне поверхности грунта y_0 и φ_0

$$y_0 = \bar{y} \frac{a_1}{K} = 1,03 \frac{53}{9000} = 0,00606 \text{ м};$$

$$\varphi_0 = \bar{\varphi} \frac{a_1 d_g}{K} = 0,9 \frac{53 \cdot 0,614}{9000} = 0,00325 \text{ рад.}$$

Искомое решение свай находим по формулам (I.12), (I.13).

$$\Delta_r = 60,6 \cdot 10^{-4} + 32,5 \cdot 10^{-4} \cdot 2 + \frac{40 \cdot 2^3}{3 \cdot 14,8 \cdot 10^4} + \frac{20 \cdot 2^2}{2 \cdot 14,8 \cdot 10^4} = 1,38 \cdot 10^{-4}$$

$$\varphi = 32,5 \cdot 10^{-4} + \frac{40 \cdot 2^2}{2 \cdot 14,8 \cdot 10^4} + \frac{20 \cdot 2}{14,8 \cdot 10^4} = 4,06 \cdot 10^{-3} \text{ рад}$$

Найдем предельную нагрузку, воспринимаемую сваей. Решая уравнение (3.9), определяем величину Z_t

$$Z_t^3 + \frac{3}{2} \cdot 2,5 Z_t^2 - \frac{3 \cdot 15}{1,4 \cdot 5,3} = 0; \quad Z_t = 1,1 \text{ м}$$

По формуле (3.8) определяем P_{pred}

$$P_{pred} = \frac{a_1 b_c}{2} Z_t^2 = \frac{5,3 \cdot 1,4 \cdot 1,1^2}{2} = 45 \text{ кН}$$

Пример 2. Для свай, рассмотренной в примере I, но работающей в условиях исключающих возможность поворота ее головы, определить горизонтальное перемещение Δ_r последней от действия горизонтальной силы $P = 120$ кН.

Решение. Определяем приведенное значение силы \bar{P} , соответствующее величине внешней нагрузки $P = 120$ кН по формуле (2.12)

$$\bar{P} = \frac{P \alpha g^2}{b_c A_1} = \frac{120 \cdot 0,614^2}{1,4 \cdot 5,3} = 0,609.$$

По табл. 3 определяем \bar{P}_{rp}^{upr} при $\bar{E} = 0$, которое равно $\bar{P}_{rp}^{upr} = 1,064$ и $\bar{y}_{rp}^{upr} = 1$.

Определяем значение $y_{0, rp}^{upr}$ по формуле (2.8)

$$y_{0, rp}^{upr} = \bar{y}_{rp}^{upr} \frac{A_1}{K} = 1 \cdot \frac{53}{9000} = 0,0059 \text{ м.}$$

Вычисляем значение $\Delta_r = y_0$ по формуле (2.6)

$$y_0 = y_{0, rp}^{upr} \cdot \frac{\bar{P}}{\bar{P}_{rp}^{upr}} = 0,0059 \frac{0,609}{1,0648} = 0,0034 \text{ м.}$$

Пример 3. Для сваи, рассмотренной в примере 2, вычислить изгибающий момент в месте заделки сваи в ростверк, возникающий приложении к ней расчетной нагрузки $P = 216$ кН, а также предельную несущую способность сваи P_{pred} . В рассматриваемом примере, предельный момент, воспринимаемый поперечным сечением сваи M_T , больше, чем в примере 2 и равен 400 кН·м.

Решение. Определяем приведенное значение силы \bar{P} по формуле (2.12)

$$\bar{P} = \frac{P \alpha g^2}{b_c A_1} = \frac{216 \cdot 0,614^2}{1,4 \cdot 53} = 1,096.$$

По табл. 3 при $L = 4$ и $E = 0$ определяем значение приведенного момента защемления, соответствующего значению силы

$$\bar{P} = 1,096 - \bar{M} = - 1,015.$$

По формуле (3.7) вычисляем расчетный изгибающий момент M_3 , возникающий в месте заделки сваи в ростверк

$$M_3 = M \frac{a \cdot b_c}{\alpha g^3} = - 1,015 \frac{53 \cdot 1,4}{0,614^3} = - 307 \text{ кН·м.}$$

Вычисляем предельную горизонтальную нагрузку, воспринимаемую сваей, по формуле (3.11)

$$P_{pred} = 1,65 \sqrt[3]{a_1 b_c M_T^2} = 1,65 \sqrt[3]{53 \cdot 1,4 \cdot 400^2} = 344 \text{ кН.}$$

Пример 4. Требуется определить горизонтальное перемещение сваи в уровне поверхности грунта y_0 , угол поворота сваи φ , а также предельную несущую способность сваи. Геометрические характеристики сваи те же, что и в примере 1. Своя погружена в суглиник,

консистенция которого $\gamma_L < 0,2$, угол внутреннего трения грунта $\varphi = 26^\circ$, удельное сцепление $- 0,047 \text{ МПа}$, коэффициент пористости $\epsilon = 0,45$, фактическая глубина погружения свай $L = 8 \text{ м}$. К свае на уровне поверхности грунта приложена горизонтальная сила $P = 60 \text{ кН}$. Предельный изгибающий момент, воспринимаемый поперечным сечением сваи, $M_T = 350 \text{ кН}\cdot\text{м}$. Согласно табл. 2 для данного вида грунта принимаем следующие значения расчетных параметров: $Q_0 = 0,04 \text{ МПа}$; $a_1 = 39 \text{ кН}/\text{м}^3$;

$$K_0 = 17500 \text{ кН}/\text{м}^3, \quad K = 17000 \text{ кН}/\text{м}^4.$$

Вычисляем коэффициент деформации по формуле (I.10)

$$\alpha_g = \sqrt{\frac{K b_c}{E_b \gamma}} = \sqrt{\frac{17000 \cdot 1,4}{14,8 \cdot 10^4}} = 0,813.$$

По формуле (I.9) определяем приведенную глубину погружения свай

$$\bar{L} = \alpha_g L = 0,813 \cdot 8 = 6,5 > 5.$$

По формуле (2.3) вычисляем значения коэффициента μ

$$\mu = \frac{I}{I + \frac{a_1 \cdot I}{Q_0}} = \frac{I}{I + \frac{3,9 \cdot I}{4}} = 0,5.$$

По формуле (2.2) вычисляем значение \bar{a}_1 ,

$$\bar{Q}_0 = \frac{\mu}{1-\mu} = \frac{0,5}{1-0,5} = I$$

По формуле (2.5) вычисляем значение коэффициента ξ

$$\xi = \frac{I}{I + \frac{K \cdot I}{K_0}} = \frac{I}{I + \frac{17000 \cdot I}{17500}} \approx 0,5.$$

По формуле (2.4) вычисляем значение \bar{a}

$$\bar{a} = \frac{\xi}{1-\xi} = \frac{0,5}{1-0,5} = I.$$

По табл. 4 определяем значение $\bar{P}_{gr}^{upr} = 0,910$ при $\bar{t} = 0$

$$P_{gr}^{upr} = \frac{\bar{P}_{gr}^{upr} \cdot b_c a_1}{\alpha_g} = \frac{0,910 \cdot 1,4 \cdot 3,9}{0,813} = 75 \text{ кН}.$$

Следовательно, $P_{gr}^{upr} > P$ т.е. свая работает в упругой стадии.

Вычисляем истинное значение y_{gr}^{upr} и y_{gr}^{upr} по формулам (2.8) и (2.9):

$$y_{gr}^{upr} = \bar{y}_{gr}^{upr} \frac{a_1}{K} = I \cdot \frac{39}{17000} = 0,00229 \text{ м};$$

$$\varphi_{upr} = \bar{\varphi}_{upr} \frac{a_1 \cdot d_g}{K} = 0,802 \frac{39 \cdot 0,813}{17000} = 0,0015 \text{ рад.}$$

По формуле (2.12) вычисляем приведенное значение \bar{P}

$$\bar{P} = \frac{P d_g^2}{b_c a_1} = \frac{60 \cdot 0,813^2}{1,4 \cdot 39} = 0,72633$$

Вычисляем значения Y_o и φ_o по формулам (2.6), (2.7)

$$Y_o = Y_{opr}^{upr} \cdot \frac{\bar{P}}{\bar{P}_{opr}^{upr}} = 0,00229 \frac{0,72633}{0,920} = 0,00183 \text{ м.}$$

$$\varphi_o = \varphi_{opr}^{upr} \cdot \frac{\bar{P}}{\bar{P}_{opr}^{upr}} = 0,0015 \frac{0,72633}{0,910} = 0,0012 \text{ рад}$$

Для определения предельной горизонтальной нагрузки, воспринимаемой сваей, решаем кубическое уравнение (3.13) относительно Z_t

$$Z_t^3 + \left(\frac{3}{2} \cdot \frac{a_0}{a_1} + E \right) Z_t^2 + 3E \frac{a_0}{a_1} Z_t - \frac{3M_T}{a_1 b_c} = 0$$

$$Z_t^3 + \frac{3}{2} \cdot \frac{40}{39} Z_t^2 - \frac{34}{14 \cdot 39} = 0; Z_t = 2,37 \text{ м.}$$

По формуле (3.12) вычисляем значение P_{pred}

$$P_{pred} = a_0 b_c Z_t + \frac{a_0 b_c}{2} Z_t^2 = 40 \cdot 1,4 \cdot 2,37 + \frac{40 \cdot 1,4}{2} \cdot 2,37^2 = 290 \text{ кН.}$$

Пример 5. Требуется определить горизонтальное перемещение Y_o и угол поворота φ_o , а также расчетные значения наибольшего изгибающего момента для свай, рассмотренной в примере 4. К свае на уровне поверхности приложена горизонтальная сила $P = 150 \text{ кН}$.

Решение. Определяем на основе данных, полученных в примере 4, величину приведенной горизонтальной силы по формуле (2.12)

$$\bar{P} = \frac{P d_g^2}{b_c a_1} = \frac{150 \cdot 0,813^2}{1,4 \cdot 39} = 1,816$$

По табл. 4 согласно полученному значению \bar{P} определяем значения \bar{y} и $\bar{\varphi}$

$$\bar{y} = 2,958; \bar{\varphi} = 2,211$$

По формулам (2.10), (2.11) определяем значения Y_o и φ_o

$$Y_o = \bar{y} \frac{a_1}{K} = 2,958 \frac{39}{17000} = 0,0068 \text{ м,}$$

$$\varphi_o = \bar{\varphi} \frac{a_1 d_g}{K} = 2,211 \frac{39 \cdot 0,813}{17000} = 0,004 \text{ рад.}$$

Определим расчетную силу $P = I5 \cdot I \cdot 2 = 180$ кН.

По формуле (2.12) определяем величину приведенной силы \bar{P}

$$\bar{P} = \frac{180 \cdot 0,813^2}{I4 \cdot 39} = 2,18.$$

По табл. 4 определяем соответствующие силе \bar{P} глубину пластической зоны \bar{t} и значения приведенных начальных параметров $\bar{y}_c^\Phi = 5,31$; $\bar{y}_o^\Phi = 1,44$; $\bar{Q}_o^\Phi = 7,16$; $\bar{M}_o^\Phi = -7,47$.

Определяем истинное значение t

$$t = \frac{\bar{t}}{d_g} = \frac{1,3}{0,813} = 1,6 \text{ м}$$

Согласно формуле (3.5) вычисляем значения изгибающих моментов, действующих в пределах пластической зоны:

$$M_T = P_t - \frac{a_0 b_c}{2} t^2 - \frac{a_1 b_c}{6} t^3$$

Расчет производим в табличной форме.

t	P_t	$\frac{1}{2} a_0 b_c t^2$	$\frac{1}{6} a_1 b_c t^3$	$M_T, \text{кН}\cdot\text{м}$
4	72	4,48	0,58	66,94
7	126	13,72	3,12	109,16
10	180	28,00	9,10	142,90
13	234	47,32	19,99	166,69
16	288	71,68	37,27	179,05

По формуле (3.1) вычисляем значения изгибающих моментов, действующих в пределах упругой зоны грунта ($\bar{z} > \bar{t}$)

$$M_{(\bar{a} + \bar{t} + \bar{z})} = \frac{a_1 b_c}{d_g^3} (\bar{y}_o^\Phi A_3 + \bar{y}_o^\Phi B_3 + \bar{M}_o^\Phi C_3 + \bar{Q}_o^\Phi D_3)$$

$$\hat{z} = (\bar{a} + \bar{t} + \bar{z}) = 0,813 + 1,3 + \bar{z} = 2,13 + \bar{z}$$

$$\frac{a_1 b_c}{d_g^3} = \frac{39 \cdot 1,4}{0,813^3} = 10,161$$

Расчет производим в табличной форме.

8

Z_n	\tilde{z}	A_3	B_3	C_3	D_3	$I0, I6I - 53, I A_3$	$I0, I6I I4, 4 B_3$	$I0, I6I - 74, 7 C_3$	$I0, I6I 71, 6 D_3$	$M_z, \text{KH:m}$
2,0	2,6	-2,62I	-3,600	-I,877	0,9I7	-I4I,4I6	-52,675	I42,469	66,7I4	I50,92
2,25	2,8	-3,I03	-4,7I8	-3,I08	0,I97	-I67,422	-69,033	235,905	I4,332	I37,82
2,5	3,0	-3,54I	-6,000	-4,688	-0,89I	-I9I,054	-87,79I	355,832	-64,823	I2I,64
3,I	3,5	-3,9I9	-9,544	-I0,34	-5,854	-2II,449	-I39,646	784,834	-425,895	78,44
3,7	4,0	-I,6I4	-II,73I	-I7,9I9	-I5,076	-87,083	-I7I,646	I360,I00	-I096,82I	45,50

СОДЕРЖАНИЕ	Стр.
1. ОБЩИЕ ПОЛОЖЕНИЯ	3
2. РАСЧЕТ СВАЙ ПО ДЕФОРМАЦИЯМ	II
3. РАСЧЕТ СВАЙ ПО ПРОЧНОСТИ	I3
4. ОПРЕДЕЛЕНИЕ РАСЧЕТНЫХ ПАРАМЕТРОВ СИСТЕМЫ СВАЯ-ГРУНТ ПО РЕЗУЛЬТАТАМ НАТУРНЫХ ИССЛЕДОВАНИЙ СВАЙ ГОРИЗОНТАЛЬНОЙ НАГРУЗКОЙ	I6
5. ПРИЛОЖЕНИЯ	
Таблица I. Значения расчетных характеристик для песчаных грунтов	I9
Таблица 2. Значения расчетных характеристик для глинистых грунтов	20
Таблица 3. Значения функций для песчаных грунтов	23
Таблица 4. Значения функций для глинистых грунтов	34
Примеры расчета	64

НИИ оснований и подземных сооружений имени Н.М.Герсеванова

Рекомендации по расчету свай на горизонтальную нагрузку в связанных и несвязанных грунтах с учетом образования зоны предельного равновесия

Отдел патентных исследований и научно-технической информации

Зав. отделом А.И.Юшин

Редактор Т.А.Печенова

Л-106548 Подп. в печать 28/П-83 г.

Формат 60x90 I/16

Бумага офсетная. Набор машинописный. Уч.-изд. л. 3,2. Заказ №56

Тираж 500 экз. Цена 30 коп.

**Отпечатано в Производственных экспериментальных мастерских ВНИИИСа
Госстроя СССР**

121471, Москва, Можайское шоссе, 25